

بررسی اثر عنصر بارش بر منابع آب زیرزمینی با استفاده از تحلیل سری‌های زمانی- مکانی خشکسالی
(مطالعه موردنی: دشت مشهد در حوزه آبخیز کشف رود)

سمیرا نورمحمدی^۱- کارشناس ارشد آبخیزداری، دانشگاه بیرجند، بیرجند، ایران

سیدمحمد تاجبخش- استادیار آبخیزداری، دانشگاه بیرجند، بیرجند، ایران

هادی معماریان- استادیار آبخیزداری، دانشگاه بیرجند، بیرجند، ایران

تاریخ دریافت: ۱۳۹۵/۹/۱۴ تاریخ تصویب: ۱۳۹۶/۲/۲۷

چکیده

عوامل مختلف طبیعی و انسانی در چند دهه اخیر باعث ایجاد شرایط بحرانی و افت سطح آب‌های زیرزمینی در بیشتر حوزه‌های آبخیز کشور از جمله استان خراسان رضوی شده است. در این تحقیق از تکنیک‌های تحلیل سری‌های زمانی مان-کنال و پیتی برای تحلیل روند شاخص خشکسالی هواشناسی SPI و شاخص خشکسالی آب زیرزمینی PSI در دوره آماری ۳۰ ساله (۱۳۹۳-۱۳۶۳) حوزه آبریز دشت مشهد استفاده شده است. جهت تحلیل مکانی وقوع خشکسالی هواشناسی و ارتباط آن با خشکسالی آب زیرزمینی نیز از روش‌های زمین آمار و تحلیل نقطه داغ استفاده گردید. نقشه‌های میان‌یابی شده شاخص SPI نشان داد که در سال‌های ۷۸-۷۹ تا ۸۷-۸۶، ۸۶-۸۵ و ۸۹-۹۰ و ۹۲-۹۳ حوزه آبریز مطالعاتی عمده‌تر در طبقات فروخشک و خیلی خشک قرار می‌گیرد؛ اما نتایج تحلیل سری زمانی شاخص SPI در تمامی ایستگاه‌ها به جز ایستگاه‌اندرج نشان می‌دهد که تغییرات تدریجی موجود در سطح پنج درصد معنی‌دار نیست؛ بنابراین حوزه آبخیز مشهد- چنان‌حال حداقل در طی سه دهه اخیر تغییرات تدریجی محسوسی را در میزان بارش و خشکسالی هواشناسی در اکثر ایستگاه‌های مورد مطالعه تجزیه نکرده است. تغییرات تدریجی سری زمانی شاخص PSI در چاه‌های مشاهداتی قاسم‌آباد، کلاته نادر، مسکران، نومهن و هاشم‌آباد غیرمعنی‌دار و در بقیه چاه‌ها (۳۵ چاه) معنی‌دار می‌باشند. شاخص PSI در همه چاه‌ها به جز بلوار تلویزیون دارای روند کاهشی است. نقشه‌های پهن‌بندی نیز نشان می‌دهند که شاخص PSI در دشت مورد مطالعه از سال‌های ۱۳۶۳-۶۴ تا ۷۹-۷۸ بیشتر در شرایط نرمال قرار گرفته و از سال‌های ۱۳۷۸-۷۹ هر چه به سمت حال حاضر پیش می‌رویم در طبقه شرایط خطرناک و حداقل تاریخی قرار می‌گیرد. نتایج تحلیل همبستگی بین دو شاخص SPI و PSI نشان می‌دهد که در اکثر موارد و سال‌ها ارتباط ضعیفی بین خشکسالی هواشناسی و آب زیرزمینی وجود دارد و نمی‌توان ارتباط معنی‌دار قوی بین این دو پدیده در دشت ارائه کرد. همچنین بر اساس تحلیل سری‌های زمانی دبی سالیانه آب مهم‌ترین

رودخانه‌های تغذیه کننده (که نشان دهنده روندی غیر معنی دار در دوره مطالعاتی است) باز هم نمی‌توان ارتباط معنی دار قوی بین خشکسالی هیدرولوژیکی و خشکسالی آب زیرزمینی در منطقه برقرار نمود. سطح آب زیرزمینی دشت مشهد-چناران از سال ۱۳۶۴ تا ۱۳۹۳ بیشتر از ۲۵ متر افت را تجربه کرده که بیشترین آن در بین سال‌های ۱۳۷۸ تا ۱۳۸۲ بوده که بالغ بر ۶ متر افت مشاهده شده است. تعداد حفر چاه در طول این چهار سال ۱۰۵۴ حلقه است که بیشترین میزان حفر چاه را در طول دوره آماری نشان می‌دهد؛ بنابراین برداشت بی‌رویه از منابع آب زیرزمینی را می‌توان عامل اصلی افت سطح سفره در دشت مشهد معرفی کرد.

کلیدواژه‌ها: افت سطح آبخوان، تحلیل سری زمانی، خشکسالی، میان یابی، SPI

۱. مقدمه

منابع آب زیرزمینی یکی از مهم‌ترین و ارزان‌ترین منابع آب به شمار می‌روند که شناخت صحیح و بهره‌برداری اصولی از آن‌ها می‌تواند در توسعه پایدار فعالیت‌های اجتماعی و اقتصادی یک منطقه، بهویژه در مناطق خشک و نیمه‌خشک، نقش بسزایی داشته باشد (نادریان‌فر و همکاران، ۱۳۸۹) عدم شناخت صحیح و بهره‌برداری بی‌رویه از این مناطق خسارت جبران‌ناپذیری مانند افت شدید و غیرقابل برگشت سطح آب زیرزمینی، کاهش دبی چاه‌ها و قنوات، تغییرات الگوی جریان آب زیرزمینی مانند پیشروی جبهه‌های آب شور را به دنبال خواهد داشت (نادریان‌فر و همکاران، ۱۳۸۹). بدین منظور یافتن اثرات بارندگی و بررسی تغییرات آن بر روی سطح آب زیرزمینی ضروری است (خان^۱ و همکاران، ۱۵۹-۱۷۷: ۲۰۰۸). یکی از چالش‌هایی که بشر با آن روبرو است مسئله تغییر اقلیم و مشکلات ناشی از آن می‌باشد که تغییر اقلیم، تغییر در آبدی رودخانه‌ها و تغذیه سفره‌های آب زیرزمینی را به دنبال خواهد داشت (مساعدي و همکاران، ۱۳۸۹). در این میان استفاده از تحلیل سری‌های زمانی می‌تواند به تشخیص تغییرات اقلیمی و اثر آن‌ها بر روی منابع آب روی استفاده از آزمون‌های آماری سری‌های زمانی هیدرومترولوژیکی، بررسی وجود یا عدم وجود روند در آن‌ها با استفاده از چنان‌چهار می‌باشد. اصولاً وجود روند در سری‌های زمانی هیدرومترولوژیکی ممکن است ناشی از تغییرات تدریجی طبیعی و تغییر اقلیم یا اثر فعالیت‌های انسانی باشد (بروکس و همکاران، ۱۹۸۲: ۴۱۲)^۲. جهت تحلیل روند سری‌های زمانی به صورت زمانی و مکانی و بررسی اثر اقلیم بر روی افت منابع آب زیرزمینی تحقیقات زیادی در دنیا انجام شده که در این میان می‌توان به موارد زیر اشاره کرد:

ژانگ^۳ و همکاران (۴۴: ۲۰۰۸)، الگوی مکانی و زمانی مقادیر حداقل و حداکثر تراز آب زیرزمینی در تابعیه دلتای رودخانه پرل چین را با روش‌مان-کندا^۴ و روش پیش‌سفید کردن مان-کندا شناسایی کردند. آن‌ها گزارش کردند

1 Khan

2 Brooks, C.E.P. and Camthers, N

3 Zhang

4 Mann-Kendall

که در قسمت بالای دلتا روند تغییرات تراز آب زیرزمینی کاهشی و در قسمت‌های میانی و پایینی آن افزایشی است. در مطالعه‌ای دوبوی^۱ و همکاران (۲۰۱۲: ۱۶۳۵-۱۶۵۰) به تجزیه و تحلیل زمانی- مکانی روند سطح آب‌های زیرزمینی در دلتای رود سرخ ویتنام پرداختند. تجزیه و تحلیل سطح آب‌های زیرزمینی به صورت سالانه نشان داد که ۳۵ درصد از چاه‌ها در آبخوان آزاد روند نزولی را نشان می‌دهند، در حالی که ۲۱ درصد دارای روند افزایشی هستند. از سوی دیگر سطح آب‌های زیرزمینی در آبخوان محصور روند رو به پائین را تقریباً در تمام مکان‌ها نشان می‌دهد. وثوقی و همکاران (۲۰۱۳: ۵۴۷-۵۵۹) به تجزیه و تحلیل روند آب‌های زیرزمینی با استفاده از روش‌های ناپارامتری در دشت اردبیل پرداختند. در این مطالعه روند تراز آب زیرزمینی ۳۲ چاه پیزومتری در مقیاس ماهانه در دوره آماری ۱۳۸۷-۱۳۶۷ با آزمون ناپارامتری من-کنداش مورد بررسی قرار گرفت. نتایج نشان داد که در همه ایستگاه‌ها (بجز ۴ ایستگاه) تراز آب زیرزمینی دارای روند منفی است و در بیش از ۷۲ درصد ایستگاه‌ها روند منفی معنی‌دار مشاهده شد. بررسی شبیه خط روند نشان داد که به طور متوسط تراز آب زیرزمینی در دشت اردبیل حدود ۱۸ سانتی‌متر در سال افت دارد. چاودهوری^۲ و همکاران (۲۰۱۴: ۴۷۹-۴۹۰)، به بررسی روند بلند مدت (۱۹۳۰-۲۰۱۰) سطح آب-های زیرزمینی ناشی از اثرات خاک، پوشش زمین و آب در تگزاس پرداختند. در این مطالعه جهت شناسایی الگوهای مکانی تغییرات از روش‌های آماری و سامانه اطلاعات جغرافیایی (GIS) استفاده شد. مشاهدات نشان می‌دهد که سطح آب‌های زیرزمینی در سال ۱۹۳۰ که حدوداً ۱۴ متر بود به ۳۶ متر در سال ۲۰۰۰ کاهش یافته است و این روند کاهش سطح آب زیرزمینی در سراسر تگزاس مشاهده می‌شود. وجود این روند نشان می‌دهد که کشت آبی از علل عمده در کاهش سطح آب زیرزمینی در مقایسه با افزایش شهرنشینی در تگزاس می‌باشد. صفائی و همکاران (۱۳۹۲)، به مقایسه شاخص خشکسالی منابع آب زیرزمینی (GRI^۳) با شاخص بارش استاندارد (SPI) در آبخوان کوهپایه-سگری با استفاده از GIS پرداختند. نتایج نشان می‌دهد که به دلیل طولانی بودن فرایند نفوذ و تغذیه آب‌های زیرزمینی ناشی از بارش، فاصله زمانی بین این دو شاخص به لحاظ وضعیت بحرانی وجود دارد. مقدم و همکاران (۱۳۹۱) به بررسی روند تغییرات زمانی و مکانی پارامترهای کیفی آب دشت مشهد با استفاده از سیستم اطلاعات جغرافیایی پرداختند. نتایج نشان داد که پایین دست حوزه مشهد با توجه به تجمع کشاورزی و روستانشینی به یک ناحیه بحرانی به لحاظ کیفیت آب تبدیل شده است.

تاکنون شاخص‌های متعددی برای پایش پدیده خشکسالی هواشناسی و آب زیرزمینی پیشنهاد شده است. از جمله شاخص شدت خشکسالی پالمر^۴ PDSI^۵ که توسط پالمر (۱۹۶۵: ۴۵) ارائه شده و مفهوم اساسی آن بر

۱ Du Bui

2 Chaudhuri

3 Geographical Information System

4 Ground water Resource Index

5 Palmer Drought Severity Index

اساس دما و بارش و همچنین رطوبت خاک استوار می‌باشد. شاخص ذخیره آب سطحی^۱ SWSI توسط شافر و دزمان^۲ (۱۹۸۲: ۱۷۵-۱۶۴) که مفهوم اصلی آن همان مفهوم شاخص پالمر است با این تفاوت که در این شاخص ذخیره آب موجود در برف مورد توجه و تأکید قرار گرفته است. و شاخص SPI توسط مککی و همکاران (۱۹۹۳: ۱۸۳-۱۷۹) که بر اساس تفاوت بارش از میانگین برای یک مقیاس زمانی مشخص و سپس تقسیم آن بر انحراف معیار به دست می‌آید و تنها فاکتور مؤثر در محاسبه این شاخص عنصر بارندگی می‌باشد. این شاخص را می‌توان در مقیاس‌های زمانی ۳-۶-۱۲-۲۴ و ۴۸ ماهه محاسبه کرد که از مهم‌ترین شاخص‌های آب زیرزمینی شاخص منبع آب زیرزمینی GRI است که به وسیله مندیسینو^۳ و همکاران (۲۰۰۸: ۲۰۰-۲۸۲-۳۰۲) و شاخص حالت پیزومتریک^۴ PSI توسط کنفردراسیون هیدروگرافی اسپانیا در سال ۲۰۰۵ ارائه شد. توانایی شاخص SPI در ارزیابی تأثیر خشکسالی هواشناسی بر روند تغییرات آب زیرزمینی (شاخص‌های GRI و PSI) در بسیاری از مطالعات انجام شده داخل و خارج کشور اثبات شده است (معماریان و همکاران، ۲۰۱۲: ۱۲۰۷-۱۲۲۲؛ وردی پورآزاد و همکاران، ۱۳۹۳؛ رضوانیان و همکاران، ۱۳۹۲؛ یاسمنی و همکاران، ۱۳۹۱؛ ایمانی و همکاران، ۱۳۹۰؛ شکیبا و همکاران، ۱۳۸۹؛ شهید و هازاریکا^۵، ۱۹۸۹-۲۰۰۶: ۲۰۰۹؛ مندیسینو و سناتور، ۲۰۰۸: ۲۸۲-۳۰۲؛ خان و همکاران، ۲۰۰۷: ۱۵۹-۱۷۷؛ جان^۶ و همکاران، ۲۰۰۸: ۳۶۰-۳۴۸).

در این مطالعه تلاش می‌شود که با توجه به ضرورت و جایگاه دشت مشهد در تأمین منابع آبی ساکنان آن به تحلیل سری‌های زمانی مربوط به متغیرهای بارش و سطح آب زیرزمینی این دشت پرداخته شود. دشت مشهد یکی از بزرگترین و مهم‌ترین دشت‌های استان خراسان رضوی است. این دشت علاوه بر تأمین آب مورد نیاز کشاورزی به مقدار بیش از ۱/۵ میلیارد متر مکعب در سال، تأمین کننده آب شرب شهرهای مشهد، چناران، شاندیز و طرقه نیز می‌باشد. رشد سریع جمعیت همراه با توسعه کشاورزی در دهه‌های اخیر سبب برداشت بسیاری و فشار بر منابع آبی این دشت شده است. بنابراین هدف اصلی این تحقیق این است که به ارزیابی اثرات خشکسالی هواشناسی بر روند تغییرات منابع آب زیرزمینی با استفاده از تحلیل سری‌های آماری خشکسالی هواشناسی و آب زیرزمینی به صورت زمانی و مکانی پردازد.

۲. مواد و روش‌ها

۲.۱. منطقه مطالعاتی

۱ Surface Water Supply Index

۲ Shafer & Dezman

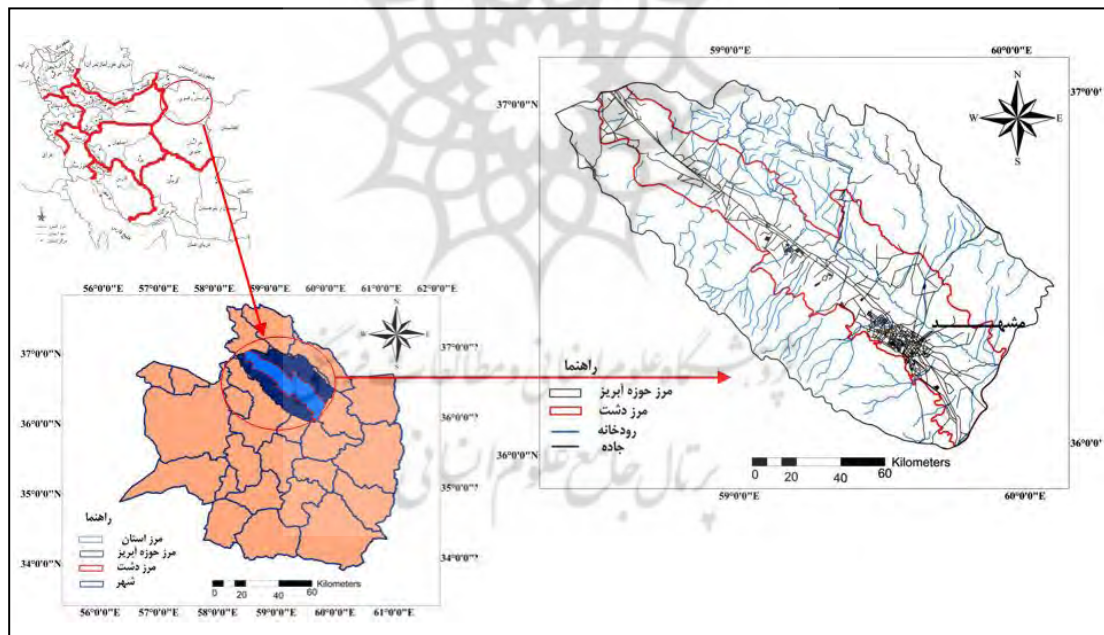
۳ Mendicino

۴ Piezometric State Index

۵ Shahid and Hazarika

۶ Jan

دشت مشهد-چnaran در محدوده زیرحوزه کشف رود یکی از زیرحوزه های حوزه آبریز قره قوم بوده که در شمال استان خراسان رضوی، در طول جغرافیایی ۵۸ درجه و ۲۰ دقیقه تا ۶۰ درجه و ۸ دقیقه و عرض جغرافیایی ۳۰ درجه و ۵۸ دقیقه تا ۳۷ درجه و ۳ دقیقه واقع شده است. وسعت کل حوزه حدود ۹۹۰ کیلومتر مربع است که ۶۱۲۰ کیلومترمربع آن را ارتفاعات و ۳۷۸۰ کیلومترمربع بقیه را تشکیل می دهد (ترشیزیان و همکاران، ۱۳۸۶). سازندگان مختلف زمین شناسی از دوران پر کامبرین تا اواخر دوران سوم در این حوزه یافت می شود. رسوبات دوران چهارم زمین شناسی که آب خوان دشت را تشکیل داده از مواد فرسایش یافته و حمل شده این سازندگان می باشند (مقدم و همکاران، ۱۳۹۱). آب و هوای منطقه بری و متنوع است، دارای تابستان های گرم و زمستان های نسبتاً سرد می باشد. میزان نزولات جوی در ارتفاعات و در سطح دشت تفاوت زیادی دارد ولیکن مقدار متوسط آن در سال ۲۵۰ میلیمتر گزارش شده است (ترشیزیان و همکاران، ۱۳۸۶). در دشت مشهد سطح آب زیرزمینی بخصوص در دهه اخیر بتدریج پایین رفته و با کسری مخزن مواجه شده است. به همین دلیل از سال ۱۳۷۴ همراه با افت منابع آب زیرزمینی، این دشت از طرف وزارت نیرو جزو دشت های ممنوعه اعلام گردید (لشگری پور و همکاران، ۱۳۸۴).



شکل ۱ موقعیت جغرافیایی منطقه مورد مطالعه

۲.۲. داده ها و اطلاعات مورد نیاز

به منظور بررسی اثر عوامل اقلیمی بر منابع آب زیرزمینی با استفاده از تحلیل سری های زمانی - مکانی ابتدا داده های بارندگی ماهانه ایستگاه های موجود، داده های دبی آب و داده های سطح آب چاه های مشاهده ای در منطقه

با مراجعه به سازمان‌های هواشناسی کشور، تحقیقات منابع آب (تماب)، آب منطقه‌ای استان خراسان رضوی، برای دشت مشهد گردآوری شد. دوره آماری مشترکی برای داده‌های بارندگی و سطح آب زیرزمینی از سال ۱۳۶۳-۱۳۹۳ تعیین شد که در کل ۱۹ ایستگاه بارندگی با توجه به پراکندگی در دشت و حوزه‌های اطراف با دوره آماری تعیین شده باقی ماند و ۴۰ چاه مشاهده‌ای با دوره آماری تعیین شده با پراکندگی مناسب انتخاب گردید. همچنین داده‌های دبی آب برای ۱۰ ایستگاه هیدرومتری مهم تغذیه کننده دشت در دوره ۱۳۹۲-۱۳۶۲ انتخاب گردید. در واقع با توجه به طول دوره آماری موجود ایستگاه‌ها یک دوره شاخص ۳۰ ساله (۱۳۹۲-۹۳ تا ۱۳۶۳-۶۴) جهت هماهنگی طول دوره آماری انتخاب گردید. خلاصه‌ای آماری با استفاده از ماتریس همبستگی واستفاده از روابط همبستگی بین ایستگاه‌های مجاور با یک رژیم آب و هوایی مشابه و دارای بیشترین ضریب همبستگی تکمیل و بعضاً^۱ دوره شاخص تطویل گردید (ایستگاه‌های آبدافریزی، زشك خراسان، سرآسیاب شاندیز، چnarان و دهانه اخلمد با یک سال نقص آماری).

۳.۲. روش انجام مطالعه

در این تحقیق جهت ارزیابی اثر بارندگی و خشکسالی هواشناسی بر سطح سفره و خشکسالی آب زیرزمینی منطقه از تکنیک‌های تحلیل سری‌های زمانی مان-کندال و پیتی استفاده شده است. جهت تحلیل مکانی و قوع خشکسالی هواشناسی و ارتباط آن با خشکسالی آب زیرزمینی نیاز روش‌های زمین‌آمار و تحلیل نقطه داغ^۲ استفاده گردید.

در این مطالعه، ابتدا تابع خودهمبستگی^۳ (جاویدی صباغیان و شریفی، ۱۳۸۸) در سری زمانی محاسبه و سپس تحلیل روند داده‌ایی که دارای خودهمبستگی معنی دار در سری زمانی می‌باشد به روش حامد و رائو^۴ (۱۹۹۸: ۱۹۶-۱۸۲) انجام شد. در روش حامد رائو اثرات همه ضرایب خودهمبستگی معنی دار از داده‌ها حذف می‌شود و برای سری‌هایی مورد استفاده قرار می‌گیرد که ضرایب خودهمبستگی آن‌ها در یک یا چند مورد معنی دار باشد (ترابی و امام قلیزاده، ۱۳۹۴: ۱۵۱-۱۴۳).

در مرحله بعد تغییرات تدریجی سری زمانی به روش مان-کندال که جزء متداول‌ترین و پرکاربردترین روش‌های ناپارامتریک تحلیل روند به شمار می‌رود محاسبه شد. این آزمون ابتدا توسط Mann (۱۹۴۵: ۲۵۹-۲۴۵) و سپس توسط Kendall (۱۹۷۵) بر پایه رتبه داده‌ها در یک سری زمانی بسط و توسعه یافت. در این روش ابتدا تک تک مشاهدات با یکدیگر مقایسه شده و اختلاف آن‌ها محاسبه می‌گردد. پس از اعمال تابع علامت و استخراج

1 Hot Spot

2 Autocorrelation function

3 Hamed & Rao

پارامتر S ، واریانس پارامتر S محاسبه شده و آماره Z در سطح معنی دار α بدست می‌آید (معماریان و همکاران، ۱۳۹۱: ۱۹۰-۱۷۳؛ زارع ابیانه و همکاران، ۱۴۰: ۱۹۰-۱۲۲۲؛ ۱۴۰-۱۲۰۷).

در این مطالعه، آزمون مان-کندال برای سطوح اعتماد ۹۵٪ و ۹۹٪ بکار گرفته خواهد شد. در صورتی که آماره Z مثبت باشد روند سری داده‌ها صعودی و در صورت منفی بودن آن روند نزولی در نظر گرفته می‌شود (زارع ابیانه و همکاران، ۱۳۹۱: ۱۷۳-۱۹۰).

به منظور تشخیص نقطه تحول در سری‌های زمانی، روش‌های متعددی مورد استفاده قرار می‌گیرند که در این تحقیق از روش غیرپارامتری پیشنهاد شده توسط پتیت^۱ (۱۳۵-۱۲۶: ۱۹۷۹) استفاده شد. این روش زمان و قوع تغییر معنی دار در میانگین سری‌های زمانی را مشخص می‌کند. آماره آزمون N_{t+1} ^۲ می‌باشد که بر اساس این آماره مشخص می‌شود آیا دو مجموعه نمونه $X_1, \dots, X_{t+1}, \dots, X_N$ و X_{t+1}, \dots, X_{t+44} از یک جامعه آماری هستند یا خیر (گائو^۳ و همکاران، ۱۴۰: ۳۲۱۹-۳۲۲۱؛ معماریان و همکاران، ۱۴۰: ۱۹۰-۱۲۲۲؛ ۱۴۰: ۱۲۰۷-۱۲۲۲).

جهت استخراج شدت خشکسالی آب زیرزمینی از شاخص حالت پیزومتریک^۴ (PSI) استفاده شد که توسط کنفراسیون هیدرولوگرافی اسپانیا در سال ۲۰۰۵ ارائه شد. این شاخص از مقادیر میانگین، بیشترین و کمترین داده‌های سطح آب زیرزمینی در محاسبات خود استفاده می‌کند (طائی سمیرمی و همکاران، ۱۳۹۱؛ سلیمانی و همکاران، ۱۳۹۲).

شاخص بارش استاندارد^۵ (SPI) نیز که در سال ۱۹۹۳ توسط مک‌کی^۶ و همکاران (مارتین واید و گومز^۷، ۱۹۹۹: ۵۵۵-۵۳۷) ارائه شد به منظور تعریف و پایش خشکسالی هواشناسی مورد استفاده قرار گرفت. از نظر ریاضی شاخص SPI بر مبنای احتمالات تجمعی بارندگی‌ها در یک ایستگاه استوار می‌باشد که مقادیر مثبت و منفی شاخص SPI به ترتیب نشان دهنده شرایط ترو خشک می‌باشد (معماریان و همکاران، ۱۴۰: ۵۵۴-۵۴۱؛ اژدری مقدم و همکاران، ۱۴۰: ۱۵۴-۱۴۳؛ باکنلی و همکاران، ۱۴۰: ۲۰۰۹؛ رازی و همکاران، ۱۴۰: ۲۰۰۷-۲۰۰۸). در این مطالعه شاخص خشکسالی SPI با استفاده از نرم افزار خشکسالی DIP^۸ برای ۱۹ ایستگاه با دوره آماری ۳۰ ساله محاسبه گردید و سپس تحلیل نوع روند و خودهمبستگی و تغییر نقطه تحول با استفاده از XLSTAT انجام شد.

۱ Pettitt

۲ Gao

۳ Piezometric State Index

۴ Standard Precipitation Index

۵ McKee

۶ Martin-Vide& Gomez

۷ Drought Indices Package

در این مطالعه بمنظور میان یابی و تهیه نقشه سطح از روش وزن دهنی عکس فاصله^۱ (IDW) (جهانی و دلبری، ۱۳۸۸؛ واتسون و فیلیپ^۲، ۱۹۸۵؛ ۳۱۵-۳۲۷)، به دلیل خطأ و پیچیدگی کمتر (مانند عدم نیاز به تحقق مفروضات آماری مانند توزیع نرمال) (حسنی پاک، ۱۳۹۲) نسبت به دیگر روش‌ها، استفاده شد و برای استخراج نقاط حدی به لحاظ شاخص‌های SPI و PSI از روش تحلیل نقاط داغ^۳ (میشل^۴، ۲۰۰۵؛ ۴۵: ۲۰۰۵) بهره گرفته شد.

۳. نتایج و بحث

۱.۳. محاسبه شاخص SPI

نتایج تحلیل سری زمانی شاخص SPI در دوره زمانی ۱۳۹۳-۱۳۹۳ نشان می‌دهد که تغییرات تدریجی موجود در تمامی ایستگاه‌ها بجز ایستگاه اندرخ در سطح پنج درصد معنی‌دار نیست. درنتیجه می‌توان اظهارداشت که حوزه آبخیز مطالعاتی حداقل در طی سه دهه اخیر (۳۰ سال اخیر) تغییرات محسوسی را در میزان بارش و خشکسالی هواشناسی تجربه نکرده است.

جدول ۱ نتایج تحلیل روند سری زمانی پیوسته شاخص SPI ایستگاه‌های حوزه آبخیز مشهد- چnaran

ایستگاه	تست روند MK			ایستگاه	تست روند MK		
	Tau	P-value	Trend		Tau	P-value	Trend
آبد فریزی	n.s. +, ۰,۰۷۴	۰,۵۸	↑	امام زاده میامی	n.s. -, ۰,۰۹۷	۰,۴۸۷	↓
اردک بند ساروج	n.s. -, ۰,۱۴۳	۰,۲۷۶	↓	گلمکان	n.s. +, ۰,۰۷۱	۰,۵۹۲	↑
اندرخ	* -, ۰,۴۹	۰,۰۰۰۱	↓	کلالت منار	n.s. -, ۰,۲۴۲	۰,۰۶۳	↓
اریه چهار باغ	n.s. +, ۰,۰۷۶	۰,۵۶۸	↑	مارشک	n.s. -, ۰,۱۳۶	۰,۳۰۱	↓
بهمن جان علیا	n.s. +, ۰,۰۹۴	۰,۴۷۵	↑	اولنگ اسدی	n.s. -, ۰,۱۴۳	۰,۲۷۶	↓
چnaran	n.s. +, ۰,۱۳۶	۰,۳۰۱	↑	سنگ دیوار	n.s. +, ۰,۰۲۱-	۰,۸۸۷	↑
دهانه اخلمد	n.s. +, ۰,۰۷۶-	۱	↓	سرآسیاب	n.s. +, ۰,۰۰۹	۰,۹۵۷	↑
دزیباربالا	n.s. +, ۰,۰۳۲	۰,۸۱۷	↑	ینگجه آشیار	n.s. -, ۰,۰۲۸	۰,۸۴۴	↓
دولت آباد خرم دره	n.s. +, ۰,۲۳-	۰,۰۷۷	↓	زشک	n.s. -, ۰,۰۲۳	۰,۸۷۲	↓
امام زاده رادکان	n.s. -, ۰,۰۷۱	۰,۵۹۲	↓				

*: معنی دار در سطح ۵ درصد؛ n.s.: غیر معنی دار

نتایج حاصل از آزمون همگنی پیت برای تشخیص نقاط تغییر در سری زمانی شاخص SPI ایستگاه‌های هواشناسی دشت مشهد در جدول ۲ نشان داده شده است. نتایج حاکی از آن است که تغییرات ناگهانی سری زمانی

1 Inverse Distance Weighted

2 Watson and Philip

3 Hot spot Analysis

4 Mitchell

شاخص SPI در ایستگاه‌های اندرخ و دولت آباد خرم دره در سطح پنج درصد معنی دار است که نقطه تغییر آنها سال ۱۳۷۶-۷۷ می‌باشد. در بقیه ایستگاه‌ها نقطه تغییر معنی داری در سطح پنج درصد مشاهده نشد (جدول ۲).

جدول ۲ نتایج حاصل از آزمون پتیت در سری زمانی شاخص SPI ایستگاه‌های هواشناسی حوزه آبخیز مشهد-چnarان

ایستگاه	K _T	P	Shift	T	ایستگاه	K _T	P	Shift	T
آبد فریزی	۶۴	n.s. [*] ,۶۱۶	-	-	امام زاده میامی	۶۴	n.s. [*] ,۶۱۶	-	-
اردک بند ساروج	۶۷	n.s. [*] ,۵۱۵	-	-	گلمنکان	۵۹	n.s. [*] ,۷۰۴	-	-
اندرخ	۱۹۶	* [*] ,۰,۰۰۱	↓	۱۳۷۶-۷۷	کلات منار	۱۰۶	n.s. [*] ,۱۰۵	-	-
اریه چهار باغ	۴۲	n.s. [*] ,۹۴۵	-	-	مارشک	۷۷	* [*] ,۰,۳۹۴	-	-
بهمن جان علیا	۶۵	n.s. [*] ,۶۰۱	-	-	اولنگ اسدی	۸۳	n.s. [*] ,۳۱۵	-	-
چnarان	۹۲	n.s. [*] ,۲۰۸	-	-	سنگ دیوار	۶۹	n.s. [*] ,۵۲۷	-	-
دهانه اخلمد	۴۲	n.s. [*] ,۹۲۴	-	-	سرآسیاب	۵۳	n.s. [*] ,۸۰۲	-	-
دیزباد	۴۰	n.s. [*] ,۹۶۵	-	-	ینگجه آبشار	۴۸	n.s. [*] ,۸۸۳	-	-
دولت آباد خرم دره	۱۲۵	* [*] ,۰,۰۳۲	↓	۱۳۷۶-۷۷	زشك	۵۲	n.s. [*] ,۸۱۵	-	-
امام زاده رادکان	۶۱	n.s. [*] ,۶۶۷	-	-					

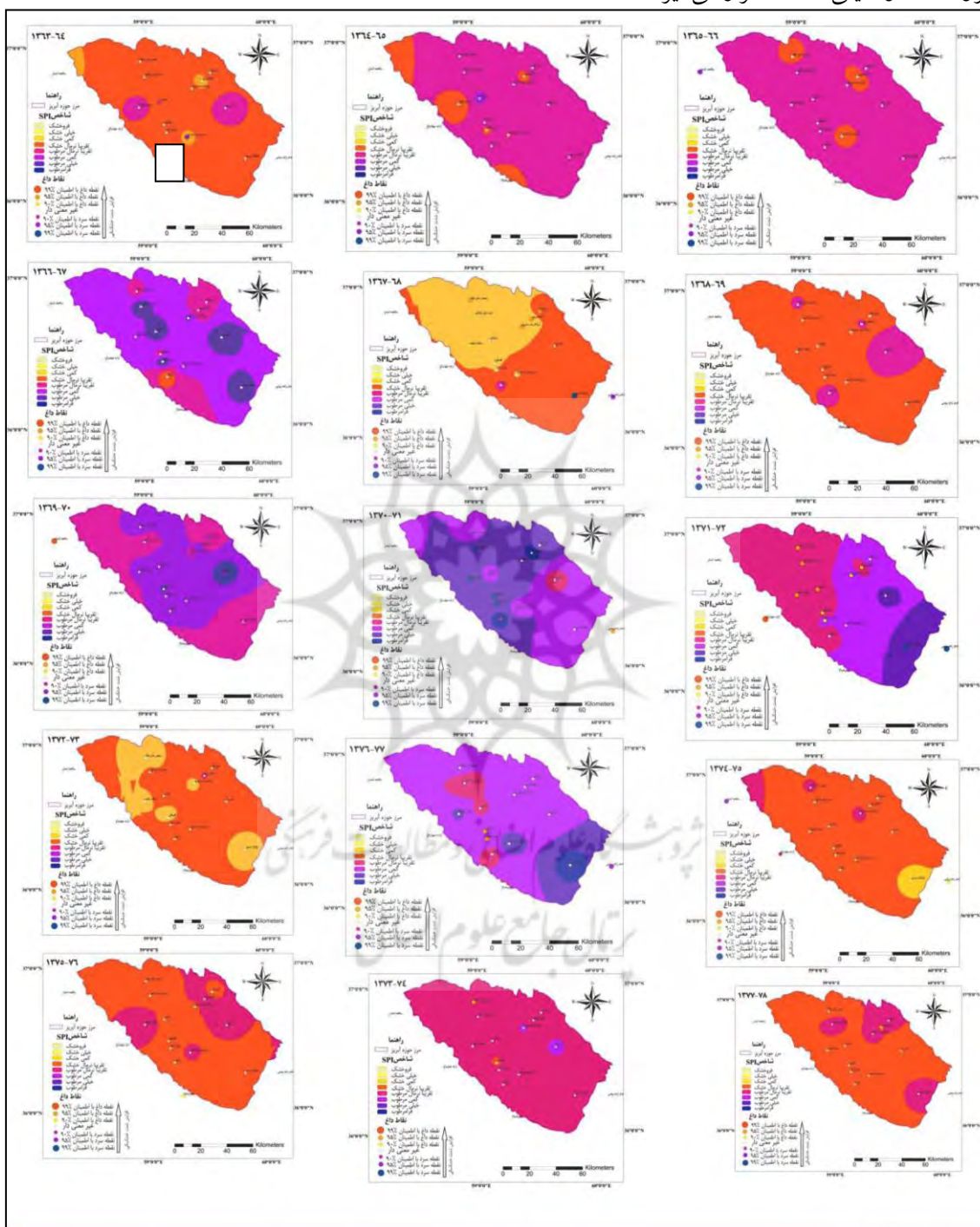
*: معنی دار در سطح ۵ درصد؛ n.s.: غیر معنی دار

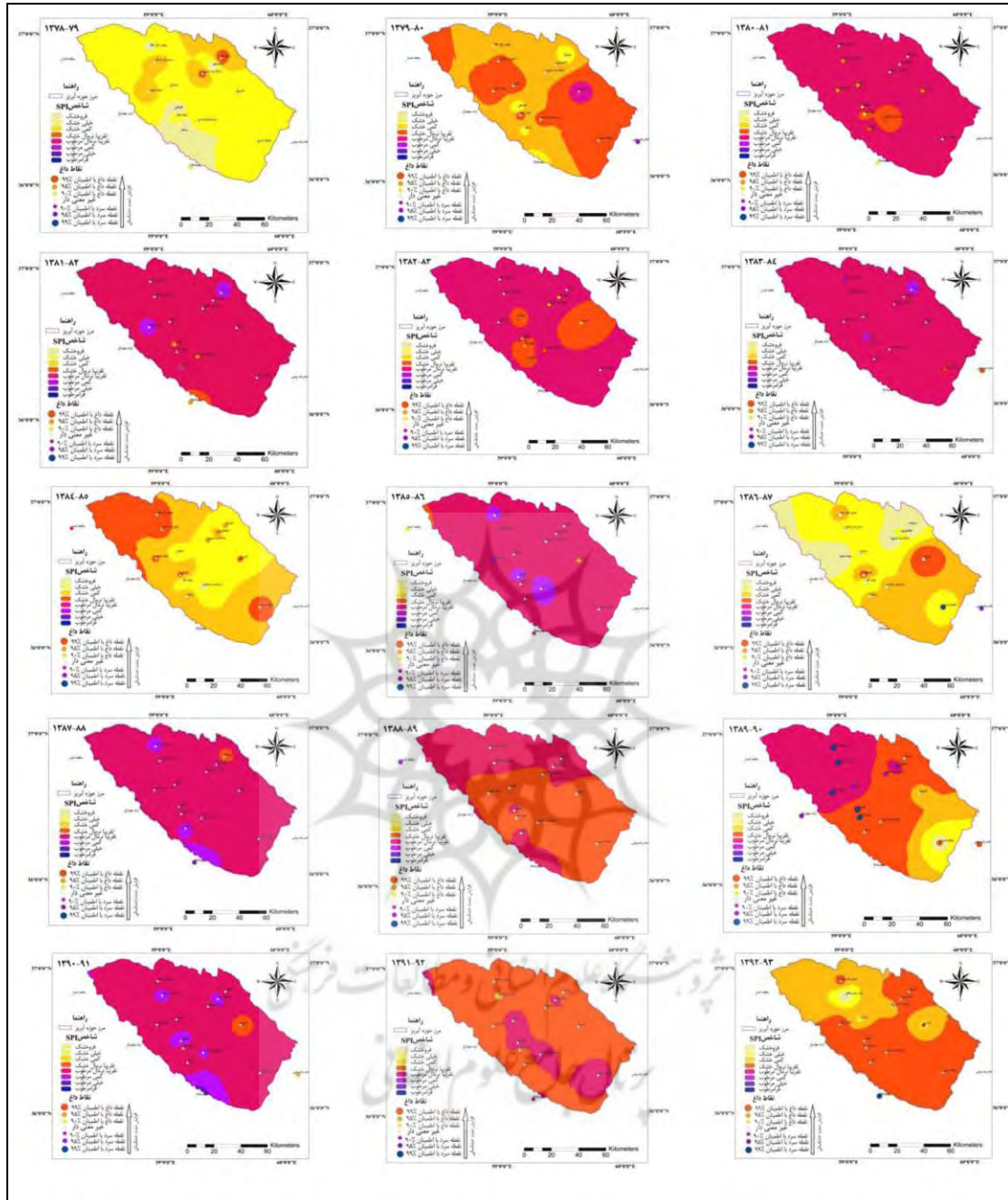
۳.۱.۲. پهنگندی و تعیین نقاط داغ شاخص SPI

در شکل (۲) نقشه‌های پهنگندی شده شاخص SPI در دوره آماری بروش IDW نشان داده شده است. همان طوری که در راهنمای نقشه نیز مشاهده می‌شود نقاط داغ در هشت طبقه قرار دارند. با افزایش شدت خشکسالی نقاط داغ با اطمینان ۹۹ درصد و هرچه به سمت فرامرطوب پیش می‌رویم نقاط سرد با اطمینان ۹۹ درصد دیده می‌شوند. بررسی این نقاط در نقشه‌ها می‌تواند در طبقه‌بندی و مرزبندی اقلیمی منطقه به لحاظ شاخص خشکسالی هواشناسی کمک شایانی نماید. همچنین براحتی می‌توان ایستگاه‌هایی را که در محدوده‌های حدی^۱ (فروخشک یا فرامرطوب) قرار می‌گیرند از سایر ایستگاه‌ها تفکیک نمود که نمونه آن را می‌توان در نقشه‌های میان یابی شده مربوط به سال‌های ۷۱-۷۲، ۷۴-۷۵، ۸۳-۸۴ یا ۸۹-۹۰ مشاهده کرد.

نقشه‌های میانیابی شده شاخص خشکسالی SPI نشان می‌دهند که این شاخص در سال‌های ۶۳-۶۴ تا ۶۹-۷۰، ۷۲-۷۳ تا ۷۵-۷۶، ۸۰-۸۱ تا ۸۳-۸۴، ۸۵-۸۶ تا ۸۷-۸۸ و ۸۹-۹۱ در بخش زیادی از منطقه مطالعاتی عمده‌تر در فاصله بین شدت‌های خشکسالی کمی خشک تا کمی مرتبط متغیر می‌باشد. در سال‌های ۷۱-۷۲ و ۷۶-۷۷ بخش زیادی از منطقه مطالعاتی وضعیت خیلی مرتبط و فرامرطوب را تجربه کرده

ولی در سال‌های ۷۸-۷۹ تا ۹۳-۹۴ حوزه آبریز مطالعاتی عمدتاً در طبقات فروخشک و خیلی خشک قرار می‌گیرد.





شکل ۲ نقشه‌های میان یابی شده شاخص SPI به روش IDW در دوره آماری ۱۳۹۲-۹۳ تا ۱۳۹۶-۹۷ دشت مشهد-چناران

۲.۳. محاسبه شاخص PSI

جدول (۳) معنی دار و غیر معنی دار بودن سری زمانی پیوسته شاخص PSI چاههای مشاهداتی را در سطح پنج درصد نشان می دهد. تغییرات تدریجی در چاههای مشاهداتی قاسم آباد، کلاته نادر، مسکران، نومهن و هاشم آباد غیر معنی دار و در بقیه چاهها معنی دار می باشند. همان طوری که در شکل ۷ مشاهده می کنید همه چاهها بجز بلوار تلویزیون دارای روند کاهشی می باشند و چاه مشاهداتی بلوار تلویزیون دارای روند افزایشی است. که یکی از دلایل آن می تواند بدلیل عدم توسعه طرح های فاضلاب باشد که در نتیجه بار مضاعف ناشی از پساب به سفره آب زیرزمینی متقل شده و شرایط بالا آمدگی موضعی سطح آب زیرزمینی در این مناطق را مهیا کرده است (گرجستانی و همکاران، ۱۳۹۴). در طی سال های اخیر نیز یک مؤلفه به بیلان آب حوزه کشف رود اضافه شده و آن هم انتقال آب از سد دوستی می باشد که با توجه به تأثیر انتقال آب بر مثبت شدن بیلان، افزایش تراز آب را در برخی از چاههای مشاهداتی از جمله بلوار صدا و سیما شاهد هستیم.

جدول ۳ نتایج تحلیل روند سری زمانی پیوسته شاخص PSI چاههای مشاهداتی مورد مطالعه در دشت مشهد - چهاران

ایستگاه	تست روند MK			ایستگاه	تست روند MK		
	Tau	P	Trend		Tau	P	Trend
بحرآباد	*-0,۳۸۴	0,۰۰۳	↓	قره جنگل	*-0,۹۴۷	0,۰۰۰۱	↓
بلوار تلویزیون	*۰,۴۷۳	0,۰۱۱	↑	قره چاه	*-0,۸۱۳	0,۰۰۰۱	↓
تخت مرز	*-0,۹۱۱	0,۰۰۰۱	↓	قزل حصار	*-0,۸۷۵	0,۰۰۰۱	↓
تنگل شور - مرغ بردک	*-0,۹۹۵	0,۰۰۰۱	↓	قلعه ساختمان	*-0,۵۶۲	0,۰۱۳	↓
جیم آباد	*-0,۹۸۹	0,۰۰۰۱	↓	قوزقان	*-0,۵۳۲	0,۰۲۱	↓
چمنگرد	*-0,۹۷۰	0,۰۰۰۱	↓	کبیر	*-0,۵۰۰	0,۰۱۱	↓
چنبر غربیال	*-۱	0,۰۰۰۱	↓	کلاته شیخها	*-0,۶۹۸	0,۰۰۰۳	↓
حسن آباد ویرانی	*-0,۷۹۴	0,۰۰۰۱	↓	کلاته کریمخان	*-0,۸۰۱	0,۰۰۰۲	↓
خرم آباد	*-0,۴۷۳	0,۰۰۰۵	↓	کلاته نادر	n.s.-0,۳۸۵	0,۱۱۳	↓
دوغانی	*-0,۵۶۲	0,۰۱۸	↓	کنه بیست	*-0,۹۵۱	0,۰۰۰۱	↓
رضاب آباد شرقی	*-۱	0,۰۰۰۱	↓	کتوگرد	*-0,۷۷۲	0,۰۰۱	↓
ریاض	*-0,۹۷۵	0,۰۰۰۱	↓	گراب	*-0,۵۹۴	0,۰۰۶	↓
سرآسیاب فردوسی	*-0,۴۶۶	0,۰۴	↓	مزرعه نمونه	*-0,۹۳۷	0,۰۰۰۱	↓
سهله الدین	*-۱	0,۰۰۰۱	↓	مسکران	n.s.-0,۰۰۵	0,۹۹۲	↓
سیدآباد	*-0,۸۹۲	0,۰۰۰۱	↓	معان	*-0,۸۴۲	0,۰۰۰۱	↓
شفبع	*-0,۹۱۳	0,۰۰۰۱	↓	ملی	*-0,۸۱۰	0,۰۰۰۱	↓
شورچه	*-0,۷۰۰	0,۰۰۰۱	↓	مؤمن آباد	*-0,۹۴۱	0,۰۰۰۱	↓
شیر حصار	*-0,۹۵۱	0,۰۰۰۱	↓	نومهن	n.s.-0,۴۵۸	0,۰۵۸	↓
عیاس آباد نهرآباد	*-0,۹۳۱	0,۰۰۰۱	↓	هاشم آباد	n.s.-0,۲۰۲	0,۳۷۳	↓
قاسم آباد	n.s.-0,۲۸۸	0,۱۱۲	↓	یکه لگه	*-۱	0,۰۰۰۱	↓

نتایج حاصل از آزمون همگنی پیت برای تشخیص نقاط تغییر در سری زمانی شاخص PSI چاههای مشاهداتی دشت مشهد-چnarان در جدول ۴ نشان داده شده است. نتایج حاکی از آن است که تغییرات ناگهانی سری زمانی شاخص PSI چاههای مشاهداتی در سطح پنج درصد معنی دار است که نقطه تغییر آنها بیشتر بین سال‌های ۱۳۷۶-۷۸ و ۱۳۷۷-۷۷ می‌باشد. به طور کلی در همه چاههای مشاهداتی نقطه تغییر کاھشی می‌باشد بجز در چاههای مشاهداتی بلوارتلویزیون و مسکران که نقطه تغییر افزایشی بوده و به ترتیب در سال‌های آبی ۱۳۶۹-۷۰ و ۱۳۸۶-۸۷ واقع شده است.

جدول ۴ تغییرات ناگهانی در میانگین سری زمانی PSI چاههای مشاهداتی دشت مشهد - چnarان

درسطح معنی دار٪.

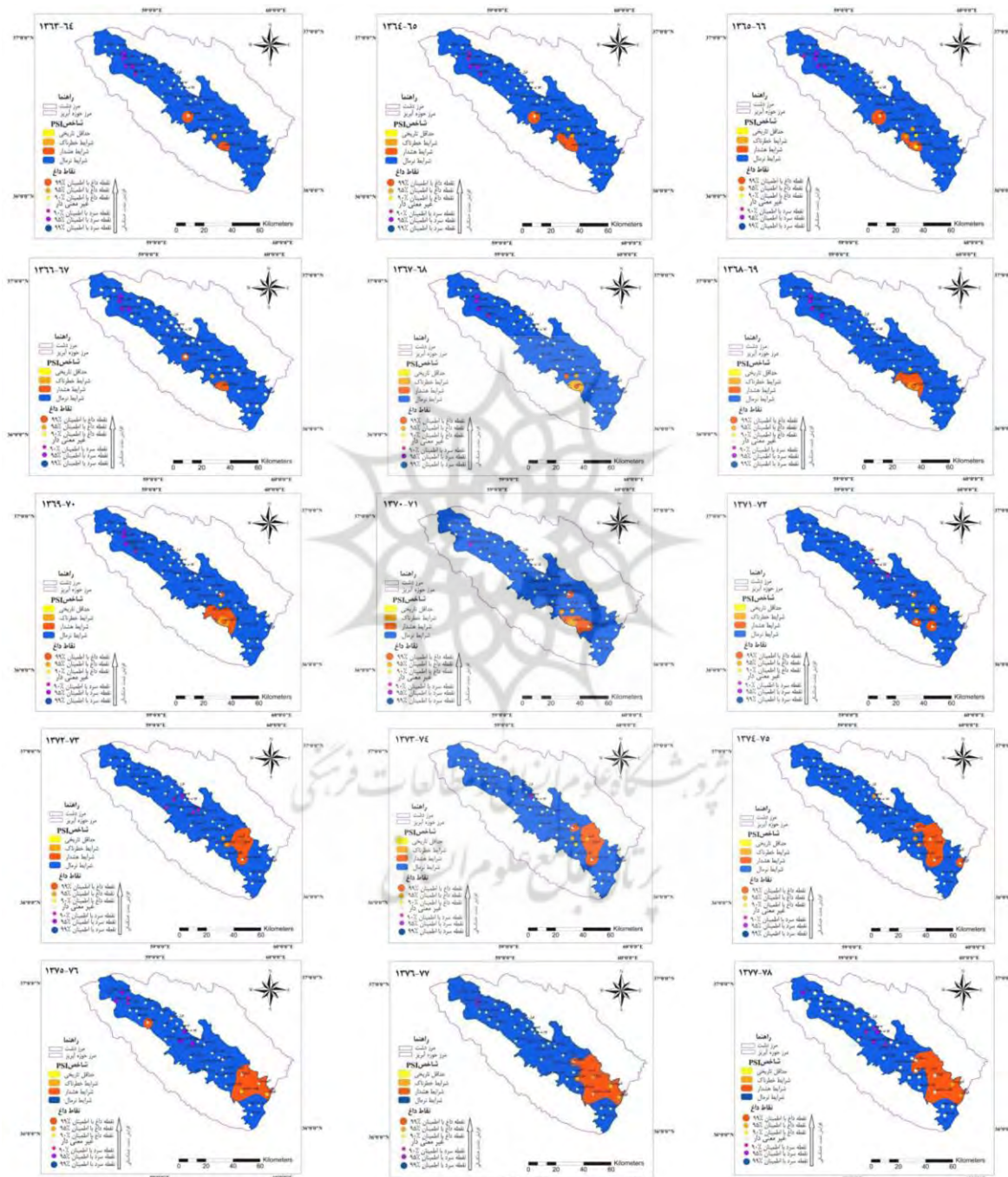
ایستگاه	K _T	P	Shift	T	ایستگاه	K _T	P	Shift	T
بحرآباد	۱۴۸	*۰,۰۰۰۸	↓	۱۳۸۲-۸۳	قاسم آباد	۱۳۰	*۰,۰۰۰۴	↓	۱۳۸۴-۸۵
بلوار تلویزیون	۱۸۰	*۰,۰۰۰۲	↑	۱۳۶۹-۷۰	قره جنگل	۱۹۶	*۰,۰۰۰۱	↓	۱۳۷۶-۷۷
تخت مرز	۲۱۰	*۰,۰۰۰۱	↓	۱۳۷۶-۷۷	قره چاه	۲۱۰	*۰,۰۰۰۱	↓	۱۳۷۶-۷۷
تنگل شور - مرغ بردک	۱۹۶	*۰,۰۰۰۱	↓	۱۳۷۷-۷۸	قزل حصار	۱۸۲	*۰,۰۰۰۱	↓	۱۳۷۷-۷۸
جیم آباد	۱۸۲	*۰,۰۰۰۱	↓	۱۳۷۶-۷۷	قلعه ساختمان	۱۶۲	*۰,۰۰۰۴	↓	۱۳۷۳-۷۴
چمگرد	۲۱۰	*۰,۰۰۰۱	↓	۱۳۷۶-۷۷	قوزقان	۱۸۴	*۰,۰۰۰۱	↓	۱۳۷۳-۷۴
چنبرغribal	۱۸۲	*۰,۰۰۰۱	↓	۱۳۷۷-۷۸	کبیر	۱۹۲	*۰,۰۰۰۱	↓	۱۳۷۹-۸۰
حسن آباد ویرانی	۱۹۶	*۰,۰۰۰۱	↓	۱۳۷۷-۷۸	کلاتنه شیخها	۱۹۶	*۰,۰۰۰۱	↓	۱۳۷۷-۷۸
خرم آباد	۲۰۴	*۰,۰۰۰۱	↓	۱۳۷۷-۷۸	کلاتنه کریمخان	۱۸۲	*۰,۰۰۰۱	↓	۱۳۷۷-۷۸
دوغانی	۲۱۰	*۰,۰۰۰۱	↓	۱۳۷۶-۷۷	کلاتنه نادر	۱۴۰	*۰,۰۰۰۲	↓	۱۳۸۴-۸۵
رضآباد شرقی	۱۸۲	*۰,۰۰۰۱	↓	۱۳۷۵-۷۶	کنه بیست	۲۱۰	*۰,۰۰۰۱	↓	۱۳۷۶-۷۷
ریاض	۲۱۰	*۰,۰۰۰۱	↓	۱۳۷۶-۷۷	کنوگرد	۱۹۰	*۰,۰۰۰۱	↓	۱۳۷۸-۷۹
سرآسیاب فردوسی	۱۷۲	*۰,۰۰۰۱	↓	۱۳۷۲-۷۳	گرباب	۱۰۸	*۰,۰۰۰۱	↓	۱۳۷۲-۷۳
سهول الدین	۱۹۶	*۰,۰۰۰۱	↓	۱۳۷۷-۷۸	مزرعه نمونه	۱۹۶	*۰,۰۰۰۱	↓	۱۳۷۷-۷۸
سیدآباد	۲۰۰	*۰,۰۰۰۱	↓	۱۳۷۷-۷۸	مسکران	۱۳۸	*۰,۰۰۰۸	↑	۱۳۸۶-۸۷
شفیع	۱۸۲	*۰,۰۰۰۱	↓	۱۳۷۶-۷۷	معان	۲۱۰	*۰,۰۰۰۱	↓	۱۳۷۶-۷۷
شورچه	۲۰۸	*۰,۰۰۰۱	↓	۱۳۷۸-۷۹	ملی	۱۹۶	*۰,۰۰۰۱	↓	۱۳۷۷-۷۸
شیرحصار	۲۱۰	*۰,۰۰۰۱	↓	۱۳۷۶-۷۷	مؤمن آباد	۲۱۰	*۰,۰۰۰۱	↓	۱۳۷۶-۷۷
عباس آباد نهرآباد	۲۱۰	*۰,۰۰۰۱	↓	۱۳۷۶-۷۷	نوهمن	۱۸۲	*۰,۰۰۰۱	↓	۱۳۸۱-۸۲

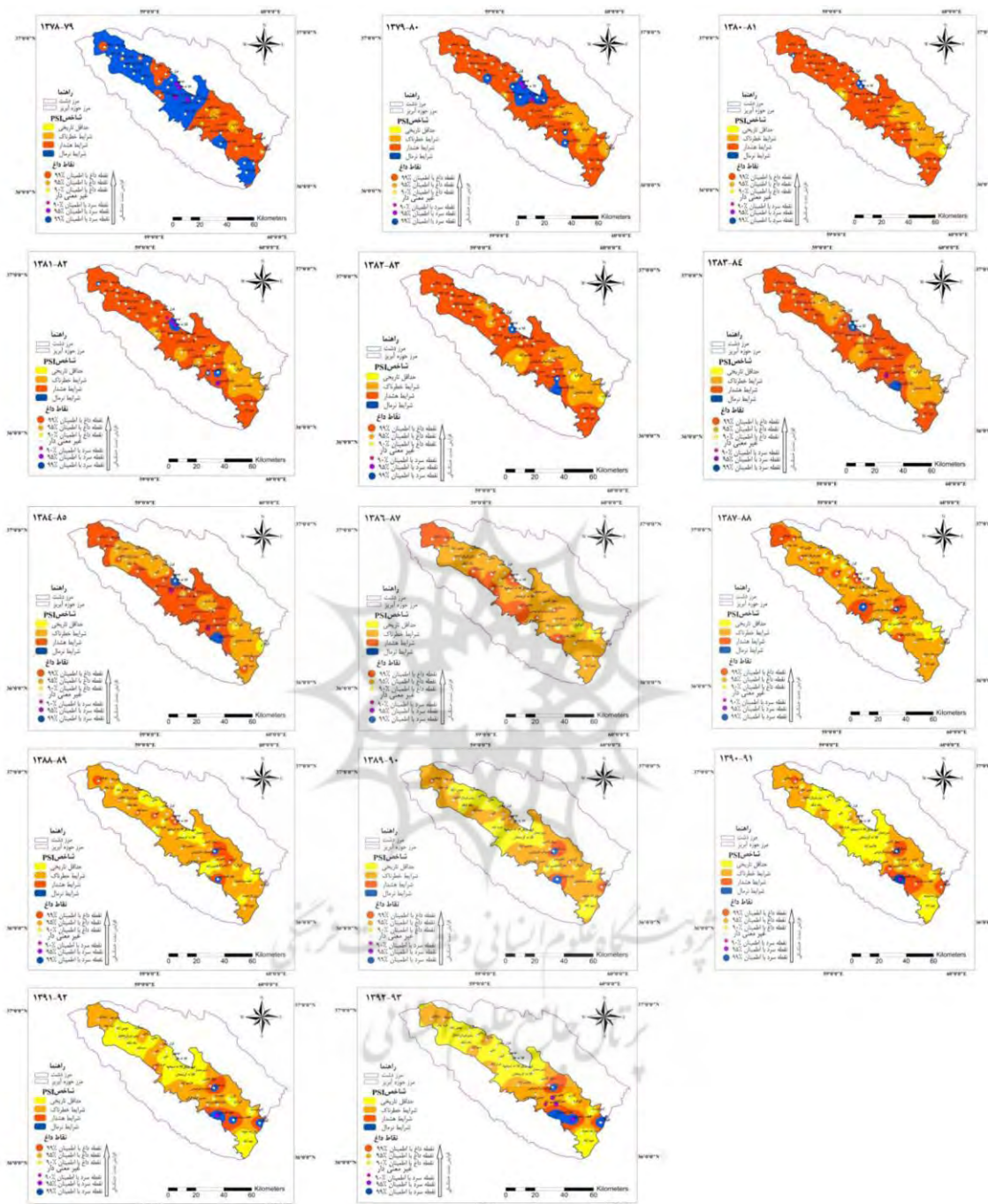
رو به پایین: ↓؛ رو به بالا: ↑؛ ۵٪ معنی دار در سطح: *؛ غیر معنی دار: n.s.

۲.۳. پهنه‌بندی و تعیین نقاط داغ شاخص PSI

در شکل (۳) نقشه‌های پهنه‌بندی شده شاخص PSI در دوره آماری به روش IDW نشان داده شده است. با بررسی نقاط داغ می‌توان چاههایی را که در محدوده‌های حدی^۱ (حداقل تاریخی یا شرایط نرمال) قرار می‌گیرند از سایر چاههای مشاهده‌ای تفکیک نمود که نمونه آن را می‌توان در نقشه‌های میان یابی شده مربوط به سال‌های ۷۸-۷۹، ۸۰-۸۱، ۹۲-۹۳، یا مشاهده نمود. نقشه‌های پهنه‌بندی نشان می‌دهند که شاخص PSI در دشت مطالعه از سال‌های ۱۳۶۳-۶۴ تا ۷۹ مشاهده نمود.

۱۳۷۸ بیشتر در شرایط نرمال قرار گرفته و از سال‌های ۱۳۷۸-۷۹ هر چه به سمت حال حاضر پیش می‌رویم شاخص PSI در دشت مطالعاتی در طبقه شرایط خطرناک و حداقل تاریخی قرار می‌گیرد. به طوری که در سال‌های ۱۳۹۰-۹۱، ۱۳۹۱-۹۲ و ۱۳۹۲-۹۳ شرایط حداقل تاریخی در دشت مشهد-چناران بوضوح قابل مشاهده است.





شکل ۳ نقشه‌های میانیابی شده شاخص PSI به روش IDW برای دوره آماری ۱۳۶۳-۶۴ تا ۹۳ دشت مشهد- چnarان ۱۳۹۲

۳.۳. تحلیل همبستگی بین دو شاخص SPI و PSI

به منظور بررسی نحوه تاثیرگذاری خشکسالی بر تغییرات منابع آب زیرزمینی دشت مشهد-چناران، از همبستگی و تحلیل رگرسیون بین دو نقشه SPI و PSI در مناطق مشترک در محیط نرم افزار Statistica استفاده شد (جدول ۵). کارایی استفاده از این روش در مطالعات مشابه نیز (سبزی پرور و کاظمی، ۱۳۸۹؛ ۹۹-۱۱۱؛ ۱۳۹۰؛ ۱۵-۲۸) تاکید و بررسی شده است. به منظور ارزیابی قدرت همبستگی بین دو متغیر از کریمی و همکاران، سال ۱۳۹۰ (جدول ۵) تاکید و بررسی شده است. طبقه بندي ارائه شده توسط اوанс^۱ (۱۹۹۶) استفاده شد.

جدول ۵ تحلیل همبستگی بین شاخص‌های SPI بدون تأخیر، با یک و دو سال تأخیر و PSI برای ۳۰

سال دوره آماری

سال (SPI)	ضریب همبستگی (r) درجه همبستگی	سال (SPI)	ضریب همبستگی (r) درجه همبستگی	سال (SPI)	ضریب همبستگی (r) درجه همبستگی
	شاخص SPI		شاخص PSI		شاخص PSI
۶۳-۶۴	۶۳-۶۴	۶۴-۶۵	۶۴-۶۵	۶۵-۶۶	۶۵-۶۶
	۰,۰۹۹۲- خیلی ضعیف		۰,۰۱۲۳- خیلی ضعیف		۰,۱۰۰۹- خیلی ضعیف
	۶۴-۶۵		۶۵-۶۶		۶۶-۶۷
	۰,۰۸۵۸- خیلی ضعیف		۰,۰۸۳- خیلی ضعیف		۰,۰۲۶- خیلی ضعیف
	۶۵-۶۶		۶۶-۶۷		۶۷-۶۸
	۰,۰۱۴- خیلی ضعیف		۰,۰۱۳- خیلی ضعیف		۰,۰۳۹۷- خیلی ضعیف
۶۶-۶۷	۶۶-۶۷	۶۷-۶۸	۶۷-۶۸	۶۸-۶۹	۶۸-۶۹
	۰,۰۲۶- خیلی ضعیف		۰,۰۵۹۹- خیلی ضعیف		۰,۱۴۸۴- خیلی ضعیف
	۶۷-۶۸		۶۸-۶۹		۶۹-۷۰
	۰,۰۳۹۷- خیلی ضعیف		۰,۲۱۵- ضعیف		۰,۱۷۱- خیلی ضعیف
	۶۸-۶۹		۶۹-۷۰		۷۰-۷۱
	۰,۰۵۳۲- خیلی ضعیف		۰,۲۴۱- ضعیف		۰,۱۸۶- خیلی ضعیف
۶۹-۷۰	۶۹-۷۰	۷۰-۷۱	۷۰-۷۱	۷۱-۷۲	۷۱-۷۲
	-۰,۲۸۳۰- ضعیف		۰,۲۴۰۵- ضعیف		۰,۴۸۸۵- متوسط
	۷۰-۷۱		۷۱-۷۲		۷۲-۷۳
	۰,۱۶۵- خیلی ضعیف		۰,۴۷- متوسط		۰,۴۹- متوسط
	۷۱-۷۲		۷۲-۷۳		۷۳-۷۴
	۰,۰۷۹۷- خیلی ضعیف		۰,۵۳۸- متوسط		۰,۵۸- متوسط
۷۲-۷۳	۷۲-۷۳	۷۳-۷۴	۷۳-۷۴	۷۴-۷۵	۷۴-۷۵
	۰,۰۸۷۴- خیلی ضعیف		۰,۰۵۹۸۳- قوی		۰,۴۱۷۸- متوسط
	۷۳-۷۴		۷۴-۷۵		۷۵-۷۶
	۰,۱۱- خیلی ضعیف		۰,۰۵۳- متوسط		۰,۶۶۸- قوی
	۷۴-۷۵		۷۵-۷۶		۷۶-۷۷

	خیلی ضعیف		۰,۴۵- متوسط		۰,۶۳۳- قوی
۷۵-۷۶	۷۵-۷۶	۷۶-۷۷	۷۶-۷۷	۷۷-۷۸	۷۷-۷۸
	۰,۱۵۶۴- خیلی ضعیف		۰,۵۲۵۷- متوسط		۰,۳۱۵۶- ضعیف
	۷۶-۷۷		۷۷-۷۸		۷۸-۷۹
	۰,۱۴۸- خیلی ضعیف		۰,۶- قوی		۰,۰۴- خیلی ضعیف
	۷۷-۷۸		۷۸-۷۹		۷۹-۸۰
	۰,۲۸۶- ضعیف		۰,۴۷- متوسط		۰,۰۱۸- خیلی ضعیف
۷۸-۷۹	۷۸-۷۹	۷۹-۸۰	۷۹-۸۰	۸۰-۸۱	۸۰-۸۱
	۰,۰۰۳۹- خیلی ضعیف		۰,۶۸۹۸- قوی		۰,۴۳۵۵- متوسط
	۷۹-۸۰		۸۰-۸۱		۸۱-۸۲
	۰,۰۴۸- خیلی ضعیف		۰,۶۰۹- قوی		۰,۳۵۹- ضعیف
	۸۰-۸۱		۸۱-۸۲		۸۲-۸۳
	۰,۱۱۵- خیلی ضعیف		۰,۴۶- متوسط		۰,۳۲- ضعیف
۸۱-۸۲	۸۱-۸۲	۸۲-۸۳	۸۲-۸۳	۸۳-۸۴	۸۳-۸۴
	۰,۴۸۵۹- متوسط		۰,۰۹۸- خیلی ضعیف		۰,۳۸۹۹- ضعیف
	۸۲-۸۳		۸۳-۸۴		۸۴-۸۵
	۰,۴۲۶- متوسط		۰,۰۹۵- خیلی ضعیف		۰,۳۵۵- ضعیف
	۸۳-۸۴		۸۴-۸۵		۸۵-۸۶
	۰,۳۳- ضعیف		۰,۱۸- خیلی ضعیف		-
۸۴-۸۵	۸۴-۸۵	۸۵-۸۶	۸۵-۸۶	۸۶-۸۷	۸۶-۸۷
	-۰,۳۷۶- ضعیف		-		-۰,۲۴۰۶- ضعیف
	۸۵-۸۶		۸۶-۸۷		۸۷-۸۸
	-		۰,۱۷۸- خیلی ضعیف		۰,۰۳۱۱- خیلی ضعیف
	۸۶-۸۷		۸۷-۸۸		۸۸-۸۹
	-۰,۲۱۵- ضعیف		۰,۰۲۲۷- خیلی ضعیف		۰,۱۶۲۹- خیلی ضعیف
۸۷-۸۸	۸۷-۸۸	۸۸-۸۹	۸۸-۸۹	۸۹-۹۰	۸۹-۹۰
	-۰,۳۰۶۶- ضعیف		۰,۰۶۲۵- خیلی ضعیف		-۰,۲۲۰۳- ضعیف
	۸۸-۸۹		۸۹-۹۰		۹۰-۹۱
	-۰,۲۳۵۹- ضعیف		۰,۰۶۴۲- قوی		-۰,۳۲۴۹- ضعیف
	۸۹-۹۰		۹۰-۹۱		۹۱-۹۲
	-۰,۰۷۹۸- خیلی ضعیف		۰,۱۰۰۹- خیلی ضعیف		۰,۴۰۰۷- متوسط
۹۰-۹۱	۹۰-۹۱	۹۱-۹۲	۹۱-۹۲	۹۲-۹۳	۹۲-۹۳
	-۰,۳۲۱۷- ضعیف		۰,۲۲۳۰- ضعیف		۰,۳۴۶۹- متوسط
	۹۱-۹۲		۹۲-۹۳		
	-۰,۳۲۰۱- ضعیف		۰,۲۲۳- ضعیف		
	۹۲-۹۳				
	-۰,۳۶۰۸- ضعیف				

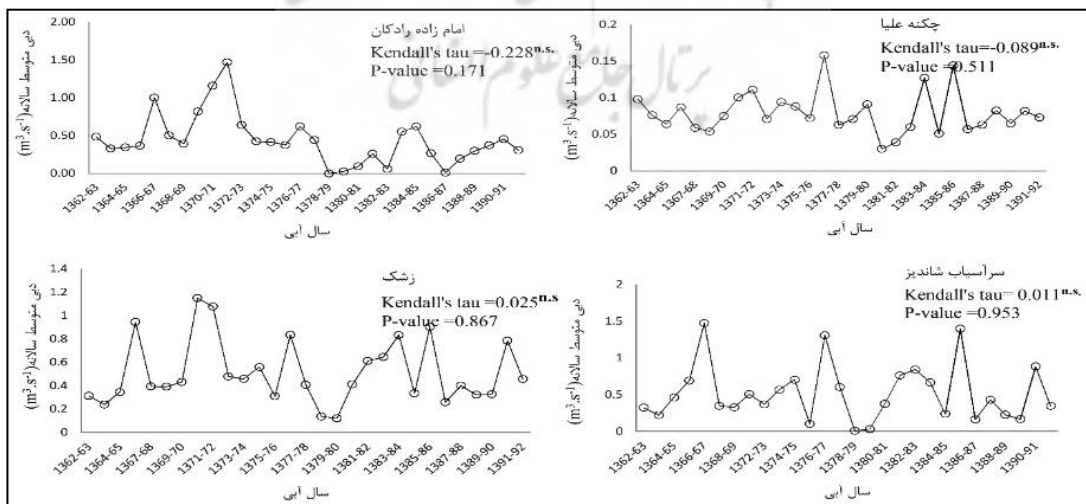
نتایج تحلیل همبستگی بین دو شاخص SPI و PSI نشان می‌دهد که در اکثر موارد و سال‌ها ارتباط ضعیفی بین خشکسالی هواشناسی و آب زیرزمینی وجود دارد و در واقع نمی‌توان ارتباط معنی‌دار قوی بین این دو پدیده در دشت مشهد - چناران ارائه داد. با بررسی ضرایب همبستگی متوسط به بالا بین دو

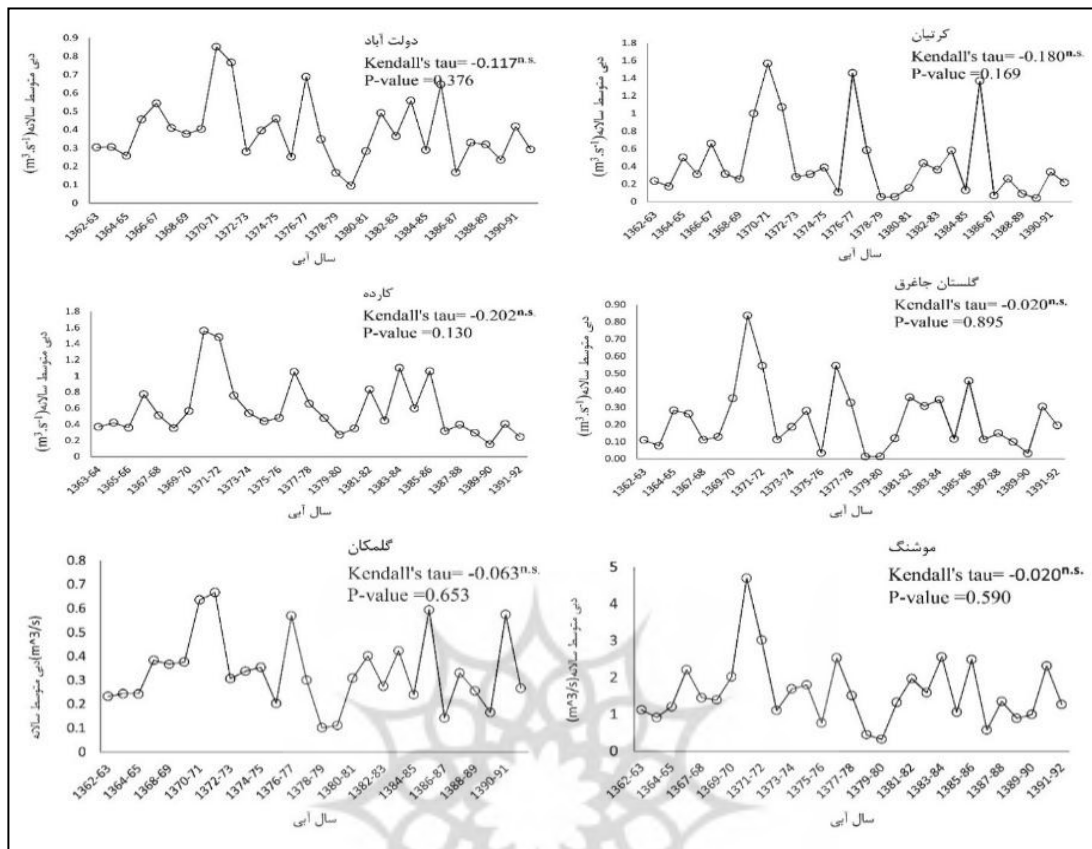
شاخص SPI و PSI مشخص می‌شود که در اکثر موارد این ارتباط از نوع معکوس می‌باشد. به عنوان مثال ضریب همبستگی بین شاخص SPI در سال ۷۱-۷۲ با شاخص PSI همان سال و سال ۷۳-۷۴ و ۷۳-۷۴ به ترتیب برابر با $-0,49$ ، $-0,58$ و $-0,58$ می‌باشد. مشابه این ارتباط نیز بین شاخص SPI سال ۷۳-۷۴ با شاخص PSI سال‌های ۷۴-۷۵، ۷۳-۷۴ و ۷۵-۷۶ مشاهده می‌گردد. البته ذکر این نکته ضروری است که منطقه مطالعاتی در سال‌های ۷۱-۷۲ تا ۷۵-۷۶ شرایط نرم‌الی را در هر دو مورد خشکسالی هواشناسی و آب زیرزمینی تجربه کرده است. بین شاخص SPI سال ۷۶-۷۷ با شاخص PSI در سال‌های ۷۷-۷۸ و ۷۸-۷۹ نیز همین ارتباط معکوس وجود دارد. یعنی با کاهش شدت خشکسالی هواشناسی، خشکسالی آب زیرزمینی نه تنها کاهش نیافته بلکه افزایش نیز می‌یابد. این بدان معنی است که عملاً کترل تغییرات خشکسالی آب زیرزمینی در این سال‌ها در اختیار تغییرات خشکسالی هواشناسی نبوده و باید علل دیگری را جستجو نمود. حتی در برخی از سال‌ها که منطقه به لحاظ خشکسالی هواشناسی شرایط خشکی را تجربه نموده است (به عنوان مثال سال‌های ۷۹-۸۰ و ۸۹-۹۰) نیز نمی‌توان ارتباط مستقیمی را بین خشکسالی هواشناسی و خشکسالی آب زیرزمینی برقرار نمود و این ارتباط حتی بین خشکسالی هواشناسی ۷۹-۸۰ با خشکسالی آب زیرزمینی ۷۹-۸۰ و ۸۰-۸۱ از نوع معکوس و قوی می‌باشد (با ضرایب همبستگی $-0,69$ و $-0,61$). اما در برخی از سال‌ها می‌توان ارتباط مستقیم متوسطی را بین خشکسالی هواشناسی و آب زیرزمینی یافت نمود. به عنوان مثال شاخص SPI در سال ۹۲-۹۳ با شاخص PSI در همان سال با ضریب همبستگی $0,43$ ارتباط مستقیمی را برقرار می‌نماید که شاید دلیل آن امتداد و پیوستگی شرایط خشکسالی هواشناسی در سال‌های قبل باشد. تقویت ضرایب همبستگی در مواردی که ارتباط بین خشکسالی آب زیرزمینی با خشکسالی هواشناسی با یک یا دو سال تأخیر برقرار گردید نشان دهنده این است که شاخص‌های هیدروژئولوژیکی با شاخص‌های خشکسالی در بسیاری از موارد همزمانی ندارند، به این دلیل که در تبدیل فرآیند بارش به عنوان اصلی ترین شاخص هواشناسی به رواناب و پس از آن فرآیند نفوذ و پیوستن آن به منابع آب زیرزمینی عوامل دیگری از جمله ساختار زمین‌شناسی منطقه و میزان نفوذپذیری سازندهای موجود در منطقه نیز نقش زیادی ایفا می‌کند (یاسمنی و همکاران، ۱۳۹۱؛ شکیبا و همکاران، ۱۳۸۹؛ ۲۵؛ ایمانی و همکاران، ۱۳۹۰؛ مندسینو^۱ و همکاران، ۲۰۰۸: ۲۰۰-۳۰۲).

آبخوان دشت مشهد - چnarان دارای ظرفیت تجدیدشونده آب زیرزمینی ۹۵۰ میلیون مترمکعب است که در حال حاضر سالانه ۱۰۷۵ میلیون مترمکعب از آن تخلیه می‌گردد. به دلیل میزان کسری مخزن که ۱۲۵ میلیون مترمکعب

گزارش شده بیلان آبخوان منفی است (بهنیافر و همکاران، ۱۳۸۹؛ شرکت سهامی آب منطقه‌ای خراسان رضوی، ۱۳۸۹). با توجه به اینکه بیلان آبخوان منفی است و از سوی دیگر نمی‌توان ارتباط قوی معنی داری را بین خشکسالی هواشناسی و خشکسالی آب زیرزمینی برقرار کرد، باید به دنبال دلایل دیگری مرتبط با خشکسالی آب زیرزمینی دشت مشهد-چnarان بود. همانطور که در شکل شماره ۸ دیده می‌شود و بر اساس تحلیل سری‌های زمانی دبی سالیانه آب مهمترین رودخانه‌های تعذیه کننده دشت مشهد در محل ایستگاه‌های هیدرومتری زشك، گلمکان، امامزاده رادکان، گلستان-جاغرق، دولت آباد-خرم دره، موشنگ، سرآسیاب شاندیز، چکنه علیا، کرتیان و کارده می‌توان دریافت که در کلیه ایستگاه‌ها بر اساس آماره Kendall s tau روند تغییرات دبی کاهشی است ولی به لحاظ آماری در سطح ۵٪ معنی دار نمی‌باشد. پس باز هم نمی‌توان ارتباط معنی دار قوی بین خشکسالی هیدرولوژیکی و خشکسالی آب زیرزمینی در منطقه مطالعاتی برقرار نمود.

با توجه به شکل (۵-الف) سطح آب زیرزمینی دشت مشهد-چnaran از سال ۱۳۶۴ تا سال ۱۳۹۳ بیشتر از ۲۵ متر افت را تجربه کرده که بیشترین آن در بین سال‌های ۱۳۷۸ تا ۱۳۸۲ (بالغ بر ۶ متر افت) مشاهده شده است. همانطور که در شکل (۵-ب) نشان داده شده است تعداد حفر چاه در طول این چهار سال ۱۰۵۴ حلقه می‌باشد که بیشترین میزان حفر چاه را در طول دوره آماری دارا می‌باشد. همچنین در طول این دوره آبخوان مورد مطالعه بالغ بر ۸۱۱ میلیون متر مکعب کاهش حجم را تجربه کرده که بر اساس آمار مشاهداتی نیز بیشترین میزان افت سطح و کاهش حجم در بین سال‌های ۱۳۷۸ تا ۱۳۸۲ مشاهده گردید. به دلیل افت سطح آب زیرزمینی و برداشت بی رویه این دشت جزء دشت‌های ممنوعه اعلام گردیده و در حالت بحرانی قرار گرفته است (دفتر مطالعات آب‌های زیرزمینی، ۱۳۸۸). بنابراین نمی‌توان گفت که خشکسالی‌های اخیر و کاهش ریزش‌های جوی مهم‌ترین دلیل در پایین رفتن سطح آب زیرزمینی دشت مشهد-چnaran بوده است. این نتایج با یافته‌های تحقیقاتی رضوانیان و همکاران (۱۳۹۲) و نورمحمدی و معماریان (۱۳۹۴) نیز همخوانی دارد.



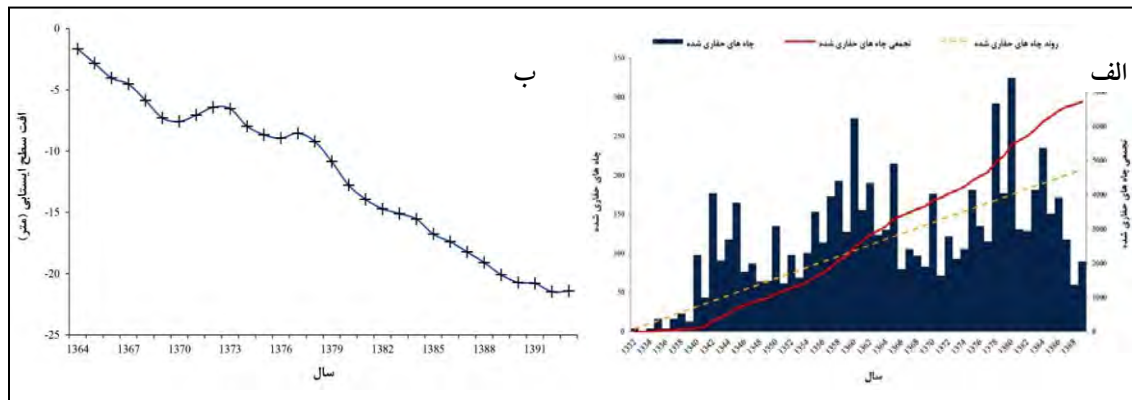


شکل ۴ دبی متوسط سالیانه ایستگاه‌های مستقر بر رودخانه‌های مهم تغذیه کننده دشت مطالعاتی طی دوره آماری ۱۳۹۲-۱۳۶۰ (بر حسب متر مکعب در سال)

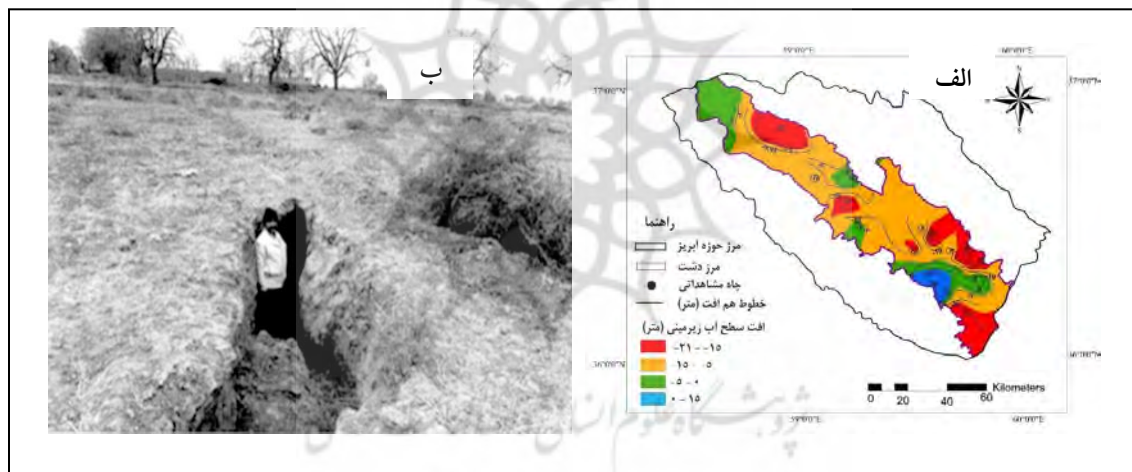
با استفاده از نتایج اندازه گیری سطح آب زیرزمینی در ده سال (۱۳۷۵-۷۶) و (۱۳۸۵-۸۶) لغایت در ده سال (۱۳۶۲-۶۳) و نقشه هم افت سطح آب زیرزمینی مشخص می‌شود که میزان افت سطح آب زیرزمینی در آبخوان آبرفتی دشت مشهد متناسب با میزان بهره برداری توسط چاهها و تغذیه آبخوان در نقاط مختلف می‌باشد (بهنیافر و همکاران، ۱۳۸۹). با توجه به نقشه هم افت آب زیرزمینی دشت مشهد-چnaran (شکل ۶-الف) ملاحظه می‌شود که میزان افت سطح ایستابی آب در بعضی از قسمت‌های دشت مانند محدوده روستای حسن خوردو و یا منطقه طوس تا ۲۱ متر در طول دوره آماری نیز به ثبت رسیده است. شکل شماره (۶-ب) عمق نشست و درز و شکاف حاصل از تخلیه آبخوان را در محدوده دشت مشهد (روستای حسن خوردو) نشان می‌دهد.

از معضلات برداشت بی‌رویه آب‌های زیرزمینی این دشت می‌توان به تبدیل چاههای نیمه عمیق به عمیق، غیر اقتصادی شدن برداشت آب، خشک شدن قنات‌ها، پیش‌روی آب‌های شور بسمت آب‌های شیرین، شور شدن

خاک و نابودی مزارع و باغها، نشست زمین و از میان رفتن همیشگی قابلیت جذب آب در سفره آب زیرزمینی و تشدید روند بیابان‌زایی اشاره کرد (سربازی، ۱۳۸۸؛ بهنیافر و همکاران، ۱۳۸۹).



شکل ۵ نمودار میانگین تجمعی تغییرات سطح آب زیرزمینی دشت مشهد-چnarان (مدیریت منابع آب ایران، ۹۲) (الف)
و تعداد چاههای حفاری شده از سال ۱۳۳۲ تا ۱۳۸۹ (ب)



شکل ۶ نقشه هم افت سطح آب زیرزمینی دشت مشهد-چnarان (الف) و عمق نشست و درز و شکاف دیوار ناشی از
نشست زمین در دشت مشهد (ب) (لشکری‌پور و همکاران، ۱۳۸۴)

۴. نتیجه‌گیری

تحلیل سری زمانی شاخص SPI در دوره زمانی ۱۳۹۳-۱۳۶۳ با استفاده از آزمون مان-کندال ثابت می‌کند که در تمامی ایستگاه‌ها بجز ایستگاه اندراخ تغییرات تدریجی موجود در سطح پنج درصد معنی‌دار نیست. تغییرات ناگهانی سری زمانی شاخص SPI نیز در کلیه ایستگاه‌ها بجز اندراخ و دولت آباد خرم دره در سطح پنج درصد معنی‌دار نمی‌باشد. درنتیجه می‌توان اظهار داشت که حوزه آبخیز مشهد-چnaran حداقل در طی سه دهه اخیر

تغییرات تدریجی محسوسی را در میزان بارش و خشکسالی هواشناسی در اکثر ایستگاه‌های مورد مطالعه تجربه نکرده است. اما تغییرات تدریجی سری زمانی شاخص PSI در اکثر چاههای مشاهداتی معنی دار است. تغییرات ناگهانی سری زمانی شاخص PSI چاههای مشاهداتی نیز در سطح پنج درصد معنی دار بوده که نقطه تغییر آنها بیشتر کاهشی و بین سال‌های ۱۳۷۶-۷۷ و ۱۳۷۷-۷۸ می‌باشد. نقشه‌های پهنه‌بندی نشان می‌دهند که شاخص PSI در دشت مورد مطالعه از سال‌های ۱۳۶۳-۶۴ تا ۱۳۷۸-۷۹ بیشتر در شرایط نرمال قرار گرفته و از سال‌های ۱۳۷۸-۷۹ هر چه به سمت حال حاضر پیش می‌رویم شاخص PSI در دشت مطالعاتی در طبقه شرایط خطرناک و حداقل تاریخی قرار می‌گیرد. به طوری که در سال‌های ۹۱، ۱۳۹۰-۹۲ و ۱۳۹۲-۹۳ شرایط حداقل تاریخی در دشت مشهد-چnaran بهوضوح قابل مشاهده است. نتایج تحلیل همبستگی بین دو شاخص خشکسالی SPI و PSI نشان می‌دهد که در اکثر موارد و سال‌ها ارتباط ضعیفی بین خشکسالی هواشناسی و آب زیرزمینی وجود دارد و در واقع نمی‌توان ارتباط معنی دار قوی بین این دو پدیده در دشت مشهد-چnaran ارائه داد. این بدان معنی است که عملاً کترل تغییرات خشکسالی آب زیرزمینی در این سال‌ها در اختیار تغییرات خشکسالی هواشناسی نبوده و باید علل دیگری را جستجو نمود. حتی در برخی از سال‌ها که منطقه به لحاظ خشکسالی هواشناسی شرایط خشکی را تجربه نموده است (به عنوان مثال سال‌های ۷۹-۸۰ و ۸۹-۹۰) نیز نمی‌توان ارتباط مستقیمی را بین خشکسالی هواشناسی و خشکسالی آب زیرزمینی برقرار نمود. همچنین بر اساس تحلیل سری-های زمانی دبی سالیانه آب مهم‌ترین رودخانه‌های تغذیه کننده (که نشان دهنده روندی غیر معنی دار در دوره مطالعاتی است) باز هم نمی‌توان ارتباط معنی دار قوی بین خشکسالی هیدرولوژیکی و خشکسالی آب زیرزمینی در منطقه برقرار نمود. بنابراین بر اساس تحلیل‌های انجام شده و آمار موجود، برداشت بی‌رویه از منابع آب زیرزمینی را می‌توان عامل اصلی افت سطح سفره معرفی کرد که باعث فرونشست و پیش‌روی آب‌های شور به سمت آب‌های شیرین در دشت مشهد شده است. نتایج اندازه‌گیری سطح آب زیرزمینی در ده سال ۷۵-۷۶ تا ۸۵-۸۶ و نقشه هم افت سطح آب زیرزمینی نیز نشان می‌دهد که میزان افت سطح آب زیرزمینی در آبخوان آبرفتی دشت مشهد-چnaran، متناسب با میزان بهره‌برداری توسط چاهها و تغذیه آبخوان است.

کتابنامه

- ایمانی، مهناز؛ طالبی اسفندارانی، علی؛ ۱۳۹۰. بررسی آثار خشکسالی بر تغییرات سطح سفره آب زیرزمینی دشت بهباد یزد با استفاده از شاخص‌های SPI و GRI. چهارمین کنفرانس مدیریت منابع آب ایران. صص ۱-۱۲.
- بهنیافر، ابوالفضل؛ قنبرزاده، هادی؛ اشرافی، علی؛ ۱۳۸۹. بررسی عوامل مؤثر در فرونشست‌های دشت مشهد و پیامدهای ژئومورفیک آن. فصل نامه جغرافیا و برنامه‌ریزی شهری چشم انداز زاگرس. سال دوم. شماره ۵. پاییز ۱۳۸۹. صص ۱۴۶-۱۳۲.

- ترشیزیان، حبیب الله؛ آفاییگی، محمد؛ برزکار، اسماعیل؛ ۱۳۸۶. امکان استفاده از قنوات متراو که جهت تغذیه مصنوعی آب‌های زیرزمینی در دشت مشهد. شرکت سهامی آب منطقه‌ای خراسان رضوی کمیته تحقیقات. صص ۱-۱۴۰.
- جهانی، سمانه؛ دلبری، معصومه؛ ۱۳۸۸. ارزیابی و برآورد بیشترین بارش ۲۴ ساعته در استان گلستان، همایش ملی مدیریت بحران آب. دانشگاه آزاد اسلامی واحد مرودشت، اسفندماه ۱۳۸۸. صص ۱-۹.
- حسنی پاک، علی اصغر؛ ۱۳۹۲. زمین آمار (ژئواستاتیستیک)، دانشگاه تهران. صص ۱-۳۲۸.
- دفتر مطالعات آب‌های زیرزمینی؛ ۱۳۸۸. گزارش پیشنهاد تمدید ممنوعیت دشت مشهد. صص ۱-۴۸.
- رضوانیان، سمهیه؛ اسدی، تورج؛ گودرزی، حسام الدین؛ ۱۳۹۲. بررسی تأثیر خشکسالی بر منابع آب زیرزمینی دشت مشهد.
- سومین همایش ملی سلامت محیط زیست توسعه پایدار، دانشگاه آزاد اسلامی واحد بندرعباس. صص ۱-۱۶.
- زارع ایانه، حمید؛ بیات ورشکی، مریم. و معروفی، صفر؛ ۱۳۹۱. بررسی نوسانات عمق آب زیرزمینی در دشت ملایر، نشریه دانش آب و خاک، شماره ۲۲. صص ۱۷۳-۱۹۰.
- طائی سميرمی، مجید؛ فاتحی مرج، احمد؛ میرنیا، سید خلاق؛ ۱۳۹۱. بررسی اثرات تغذیه مصنوعی بر توزیع زمانی و مکانی خشکسالی‌های هیدروژئولوژیک با استفاده از شاخص حالت پیزومتریک (مطالعه موردی: دشت گربایگان، استان فارس)"، مجله تحقیقات منابع آب ایران، سال هشتم، شماره ۱، بهار و تابستان. صص ۸۶-۸۹.
- سبزی‌پرور، علی اکبر؛ کاظمی، آزاده؛ معروفی، صفر؛ غفوری، محمد؛ بذرافشان؛ ۱۳۸۹. ارزیابی تطبیقی هفت نمایه خشکسالی هواشناسی با استفاده از روش تحلیل خوش‌های، مجله علوم و تکنولوژی محیط‌زیست، دوره دوازدهم، شماره یک، بهار. صص ۱۱۱-۹۷.
- سلامجه، علی؛ نجفی حاجی‌پور، منصور؛ و فتح آبادی، ابوالحسن؛ ۱۳۸۸. تحلیل خشکسالی با استفاده از شاخص SPI و زنجیره مارکوف مطالعه موردی: استان چهار محال و بختیاری، پنجمین همایش ملی علوم و مهندسی آبخیزداری ایران، دانشگاه علوم کشاورزی و منابع طبیعی گرگان. صص ۱-۱۸.
- سربازی، محبوبه؛ مهدوی، محمد؛ فیض نیا، سادات؛ و قزل سوپلو، عباسعلی؛ ۱۳۸۸. پنهاندی کیفیت آب‌های زیرزمینی در دشت مشهد، پایان نامه کارشناسی ارشد، پردیس کشاورزی و منابع طبیعی، دانشگاه تهران. صص ۱-۸۸.
- سلیمانی، مهدی؛ قاسمیه، هدی؛ ساداتی نژاد، سیدجواد؛ میرزاوند، محمد؛ ۱۳۹۲. بررسی اثر خشکسالی هیدروژئولوژیک بر نوسانات آب زیرزمینی با استفاده از شاخص PSI. پنجمین کنفرانس مدیریت منابع آب ایران، دانشگاه شهید بهشتی - انجمن علوم و مهندسی منابع آب ایران. صص ۱-۹.
- شرکت سهامی آب منطقه‌ای خراسان رضوی؛ ۱۳۸۹. گزارش تعیین وضعیت آب زیرزمینی دشت مشهد. صص ۱-۶۳.
- شکیبا، علیرضا؛ میرباقری، بابک؛ خیری، افسانه؛ ۱۳۸۹. خشکسالی و تأثیر آن بر منابع آب زیرزمینی در شرق استان کرمانشاه با استفاده از شاخص SPI، جغرافیا، فصلنامه علمی - پژوهشی انجمن جغرافیای ایران، شماره ۸ صص ۱-۲۰.
- کریمی، ولی‌الله؛ حبیب‌نژاد روشن، محمود؛ آبکار، علی‌جان؛ ۱۳۹۰. بررسی شاخص‌های خشکسالی هواشناسی در ایستگاه‌های سینوپتیک مازندران، فصلنامه علمی پژوهشی مهندسی آبیاری و آب، سال دوم. شماره ۵ پاییز. صص ۴۳-۲۱.

- صفائی، حمید؛ اصغری، کیوان. و صفوی، حمیدرضا؛ ۱۳۹۲. مقایسه شاخص خشکسالی منابع آب زیرزمینی (GRI) با شاخص بارش استاندارد (SPI) مطالعه موردنی: آبخوان کوهپایه- سگزی، هفتمنی کمگره ملی مهندسی عمران، دانشکده مهندسی شهید نیکبخت، زاهدان ۱۷ و ۱۸ اردیبهشت ماه. صص ۱-۱۳.
- گرجستانی، کیان؛ اخترپور، علی؛ ابریشمی، سعید؛ ۱۳۹۴. مطالعه آزمایشگاهی و عددی تأثیر افزایش رطوبت ناشی از بالا آمدگی سطح آب زیرزمینی مشهد بر پایداری، یک گود پایدار سازی به روش Anchorage، پایان نامه کارشناسی ارشد، پردیس دانشگاه فردوسی مشهد. صص ۱-۱۱۱.
- لشگری پور، غلامرضا؛ سویزی، زینب؛ پیوندی، زکیه؛ ۱۳۸۴. افت سطح آب زیرزمینی و نشست زمین در دشت مشهد، مجموعه مقالات همایش انجمن زمین شناسی ایران، دانشگاه تربیت معلم تهران. صص ۱-۱۵.
- مقدم، علیرضا؛ قلعه‌بان تکمه‌داش، میلاند؛ اسماعیلی، کاظم؛ ۱۳۹۱. بررسی روند تغییرات زمانی و مکانی پارامترهای کیفی آب دشت مشهد با استفاده از سیستم اطلاعات جغرافیایی، مجله پژوهش‌های حفاظت آب و خاک، جلد بیستم، شماره سوم، ۱۳۹۲. صص ۲۲۵-۲۱۱.
- مساعدي، ابوالفضل؛ کوهستانی؛ نسیرین؛ ۱۳۸۹. تحلیل روند تغییرات دبی رودخانه‌های استان گلستان با استفاده از روش‌های پارامتری و ناپارامتری، چهارمین کنفرانس منطقه‌ای تغییر اقلیم. صص ۱-۱۸.
- نادریان‌فر، محمد؛ انصاری، حسین؛ ضیایی، علی‌قلی؛ داوری، کامران؛ ۱۳۹۰. بررسی روند تغییرات و نوسانات سطح آب زیرزمینی در حوزه آبریز نیشابور تحت شرایط اقلیمی مختلف، سال اول، شماره ۳، بهار ۱۳۹۰. صص ۳۷-۲۲.
- نورمحمدی، سمیرا؛ معماریان، هادی؛ ۱۳۹۴. بحران آب دشت مشهد، عوامل، پیامدها و راهکارها، اولين همایش ملی بحران آب و مدیریت آن در مناطق خشک ایران. صص ۱-۱۴.
- یاسمنی، سمانه؛ محمدزاده، حسین؛ مساعدی، ابوالفضل؛ ۱۳۹۱. بررسی اثر خشکسالی بر تغییرات سطح آب زیرزمینی دشت تربت جام- فریمان با بکارگیری شاخص‌های SPI و GRI. شانزدهمین همایش انجمن زمین شناسی ایران. صص ۱-۷.
- ورדי پورآزاد، آیلین؛ آذرخشی، مریم؛ مساعدی، ابوالفضل؛ فرزادمهر، جلیل؛ ۱۳۹۳. بررسی اثر خشکسالی هواشناسی بر تغییرات سطح آب زیرزمینی دشت مشهد با استفاده از شاخص‌های SPI و GRI. کنفرانس بین المللی توسعه پایدار، راه-کارها و چالش‌ها، تبریز. صص ۱-۱۹.
- Bacanli, U. G., Firat, M., & Dikbas, F. (2009). Adaptive neuro-fuzzy inference system for drought forecasting. Stochastic Environmental Research and Risk Assessment, 23(8), 1143-154.
- Brooks C.E.P., Camthers N. (1982). Handbook of Statistical Method Meteorology, London, H.M.S.O. 401-412.
- Chaudhuri, S., & Ale, S. (2014). Long-term (1930° 2010) trends in groundwater levels in Texas: influences of soils, landcover and water use. Science of the Total Environment, 490, 379-390.
- Evans, J. (1996). Straightforward statistics for the behavioral sciences: Brooks/Cole Pub Co. 26, 106-114.

- Gao, Z. L., Fu, Y. L., Li, Y. H., Liu, J. X., Chen, N., & Zhang, X. P. (2012). Trends of streamflow, sediment load and their dynamic relation for the catchments in the middle reaches of the Yellow River over the past five decades. *Hydrology and Earth System Sciences*, 16(9), 3219-3231.
- Hamed, K. H., Rao, A. R. (1998). A modified Mann-Kendall trend test for autocorrelated data. *Journal of Hydrology*, 204(1-4), 182-196.
- Javidi Sabbaghian, R., & Sharifi, M. B. (2009). Random modeling application in river flow simulation and estimation of mean annual river discharge by time series analysis. In International conference on water resources (ICWR). Shahrood, Iran, 15-17.
- Jan, C. D., Chen, T. H., & Lo, W. C. (2007). Effect of rainfall intensity and distribution on groundwater level fluctuations. *Journal of hydrology*, 332(3), 348-360.
- Khan, S., Gabriel, H. F., & Rana, T. (2008). Standard precipitation index to track drought and assess impact of rainfall on watertables in irrigation areas. *Irrigation and Drainage Systems*, 22(2), 159-177.
- Martin-Vide, J., & Gomez, L. (1999). Regionalization of peninsular Spain based on the length of dry spells. *International Journal of climatology*, 19(5), 537-555.
- Mann, H. B. (1945). Nonparametric tests against trend. *Econometrica: Journal of the Econometric Society*, 245-259.
- Kendall M. G. (1948). Rank correlation methods.
- Mendicino, G., Senatore, A., & Versace, P. (2008). A Groundwater Resource Index (GRI) for drought monitoring and forecasting in a mediterranean climate. *Journal of Hydrology*, 357(3), 282-302.
- Memarian, H., Balasundram, S. K., Talib, J. B., Sood, A. M., & Abbaspour, K. C. (2012). Trend analysis of water discharge and sediment load during the past three decades of development in the Langat basin, Malaysia. *Hydrological Sciences Journal*, 57(6), 1207-1222.
- Memarian, H., Bilondi, M. P., & Rezaei, M. (2016). Drought prediction using co-active neuro-fuzzy inference system, validation, and uncertainty analysis (case study: Birjand, Iran). *Theoretical and applied climatology*, 125(3-4), 541-554.
- Principe, J. C., Lefebvre, W. C., Lynn, G., Fancourt, C., & Wooten, D. (2007). NeuroSolutions-Documentation, the Manual and On-Line Help. 33-41.
- Mitchell, A. (2005). The ESRI guide to GIS analysis volume 2: Spatial measurement and statistics. 24-29.
- McKee, T. B., Doesken, N. J., & Kleist, J. (1993). The relationship of drought frequency and duration to time scales. In Proceedings of the 8th Conference on Applied Climatology. Boston, MA: American Meteorological Society. 17(22), 179-183.
- Palmer, W. C. (1965). Meteorological drought. Washington, DC: US Department of Commerce, Weather Bureau. 30(6), 44-52.
- Pettitt, A. N. (1979). A non-parametric approach to the change-point problem. *Applied statistics*, 126-135.
- Watson, D. F., & Philip, G. M. (1985). A refinement of inverse distance weighted interpolation. *Geo-processing*, 2(4), 315-327.

- Shahid, S., & Hazarika, M. K. (2010). Groundwater drought in the northwestern districts of Bangladesh. *Water resources management*, 24(10), 1989-2006
- Shafer, B. A., & Dezman, L. E. (1982). Development of a Surface Water Supply Index (SWSI) to assess the severity of drought conditions in snowpack runoff areas. In Proceedings of the western snow conference. Colorado State University Fort Collins CO. 50, 164-175.
- Yue, S., Pilon, P., & Cavadias, G. (2002). Power of the Mann° Kendall and Spearman's rho tests for detecting monotonic trends in hydrological series. *Journal of hydrology*, 259(1), 254-271.
- Yue, S., Pilon, P., & Cavadias, G. (2002). Power of the Mann° Kendall and Spearman's rho tests for detecting monotonic trends in hydrological series. *Journal of hydrology*, 259(1), 254-271.
- Zhang, X., Zhang, L., Zhao, J., Rustomji, P., & Hairsine, P. (2008). Responses of streamflow to changes in climate and land use/cover in the Loess Plateau, China. *Water Resources Research*, 44(7), 124-131.

